

ポジトロニウム

# Psの量子振動

井上篤生 大畠隆弘 蓑島淳



Menu

⇒ 理論

実験

解析

結論

# 理論

担当：井上篤生

# 実験の当初の目的

1. ポジトロニウムの寿命測定

2. ポジトロニウムの崩壊曲線の振動の測定

3. 超微細分裂の測定

# ポジトロニウムの基礎

Ps : ポジトロニウム

電子と陽電子の束縛状態

スピン一重項状態と三重項状態が存在

$$|11\rangle = |\uparrow\uparrow\rangle$$

$$\text{o-Ps} \quad |10\rangle = \frac{1}{\sqrt{2}} (|\uparrow\downarrow\rangle + |\downarrow\uparrow\rangle)$$

Spin 1

$$|1-1\rangle = |\downarrow\downarrow\rangle$$

$$\text{p-Ps} \quad |00\rangle = \frac{1}{\sqrt{2}} (|\uparrow\downarrow\rangle - |\downarrow\uparrow\rangle)$$

Spin 0

# ポジトロニウムの基礎

Ps : ポジトロニウム

電子と陽電子の束縛状態

スピン一重項状態と三重項状態が存在

崩壊時間

o-Ps      142 ns

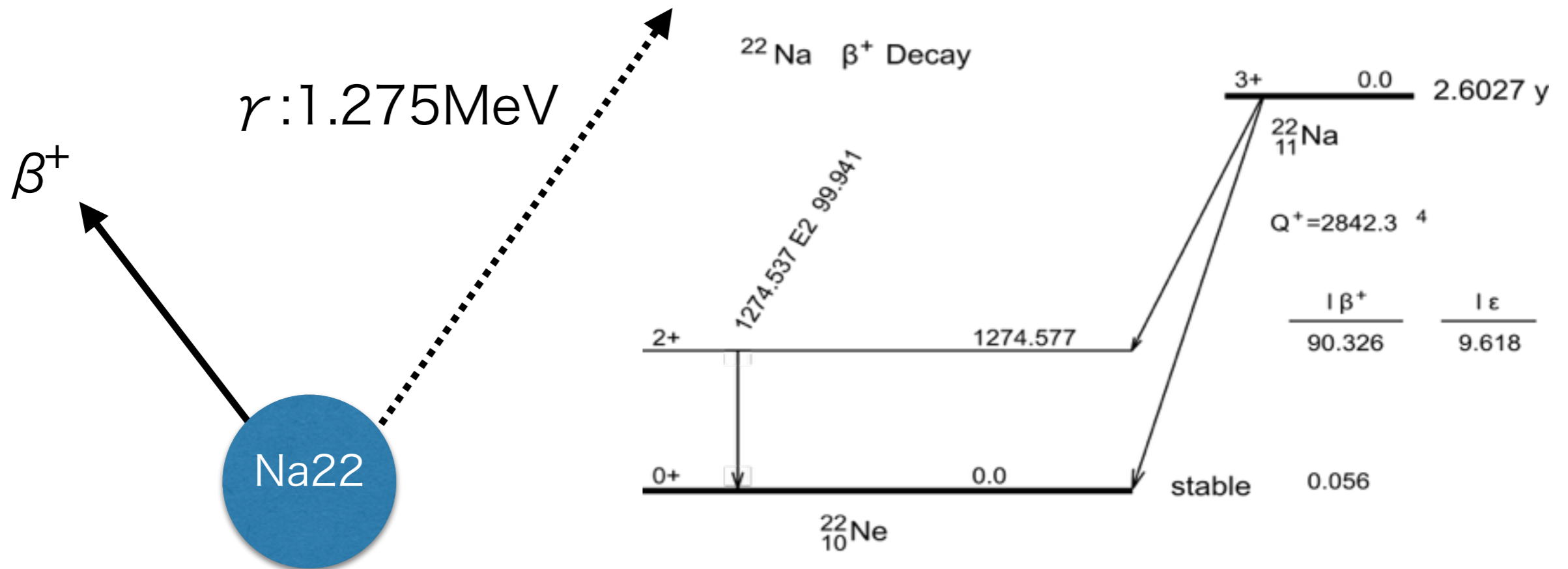
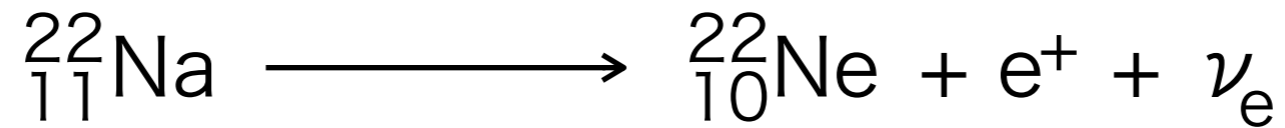
こちらを観測する

p-Ps      125 ps

# ポジトロニウムの基礎

## 作り方

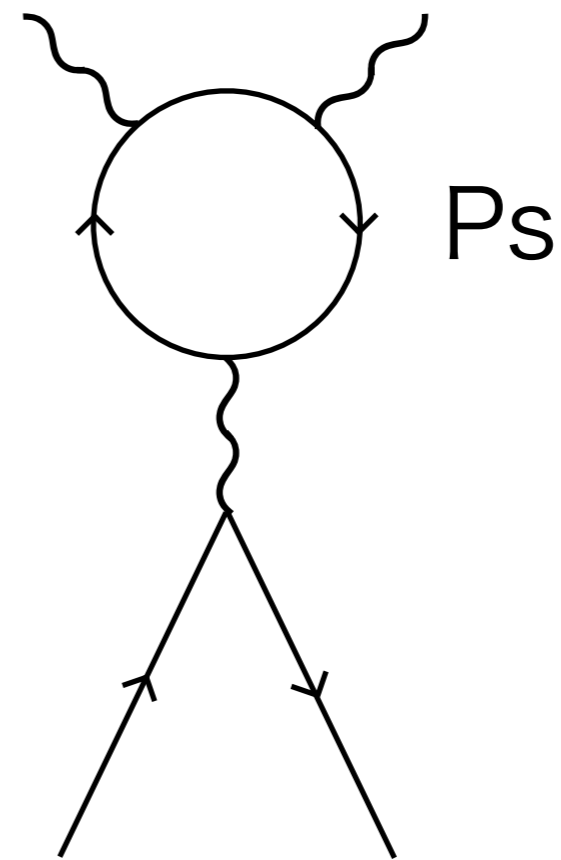
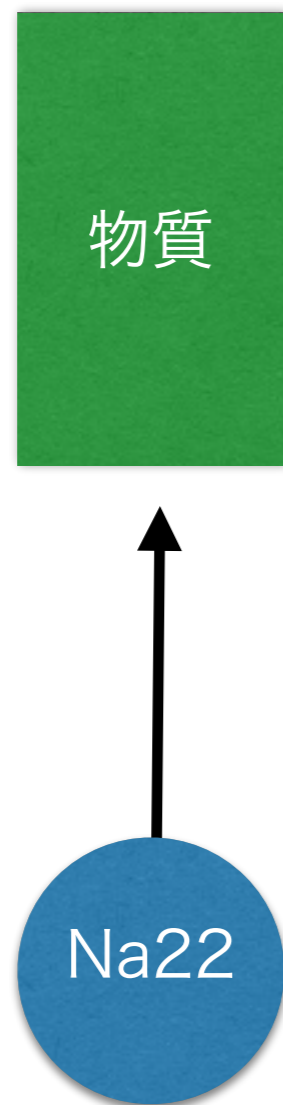
Na22の  $\beta^+$ 崩壊を利用：



# ポジトロニウムの基礎

物質にぶつけて物質中の電子と反応させて  
ポジトロニウムをつくる

→角度分布から物質の性質などを調べられる





# ポジトロニウムの崩壊

束縛状態を形成するには  
陽電子は遅くしなければならない

場の理論 + NR-Schroedinger方程式のハイブリッドな理論を使う

ポジトロニウムの状態ベクトル

$$|S, S_z\rangle = \int d^3\mathbf{p} \tilde{\psi}(\mathbf{p}) \sum_{s, s'} \sigma_{s, s'} a_{\mathbf{p}, s}^\dagger b_{-\mathbf{p}, s'}^\dagger |0\rangle$$

$\tilde{\psi}(\mathbf{p})$  : Coulomb場中のSchroedinger方程式の解

# ポジトロニウムの崩壊

電磁相互作用では荷電共役対称性が保存する  
→対消滅後の終状態に制限がつく

状態ベクトルの荷電共役パリティ：

$$C|S, S_z\rangle = (-1)^{L+S}|S, S_z\rangle$$

終状態ベクトルの荷電共役パリティ：

$$C|n\gamma\rangle = (-1)^n|n\gamma\rangle$$

ポジトロニウムの対消滅には  $L = 0$  のみがきいてくる

# ポジトロニウムの崩壊

電磁相互作用では荷電共役対称性が保存する  
→対消滅後の終状態に制限がつく

散乱振幅全体が荷電共役対称性を持つためには、

$$o\text{-Ps} \longrightarrow (2k + 1)\gamma$$

$$p\text{-Ps} \longrightarrow 2k\gamma$$

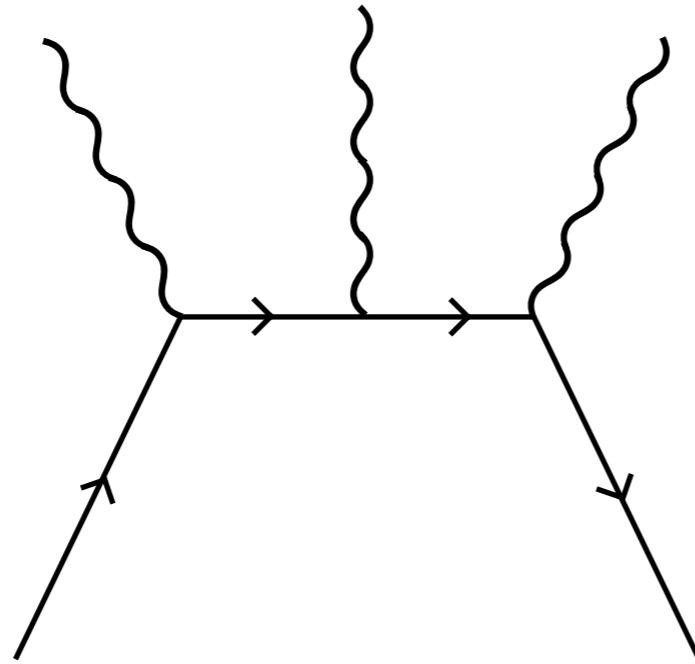
最低次はそれぞれ  $3\gamma, 2\gamma$  の崩壊

# ポジトロニウムの崩壊

寿命の計算

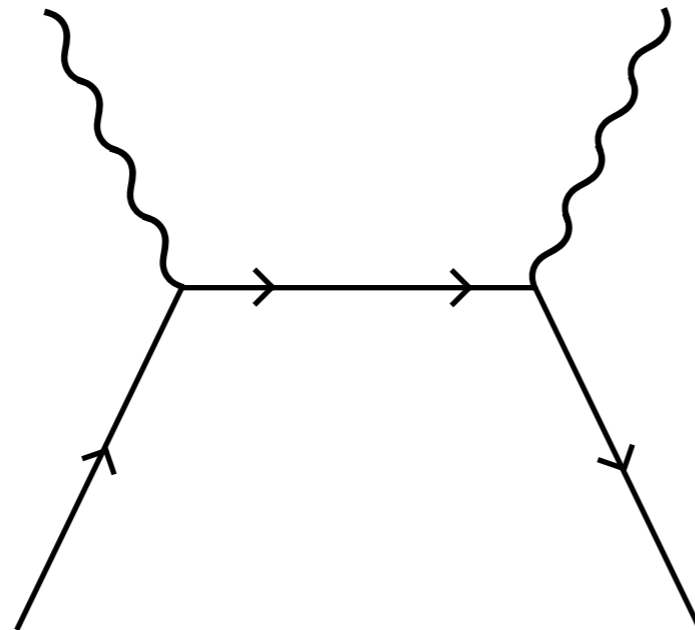
次のFeynmanダイアグラムを計算すれば良い：

o-Ps

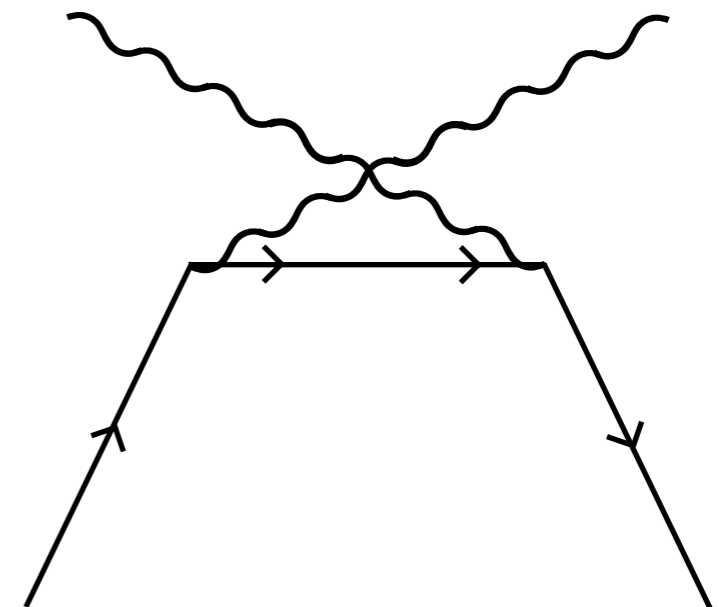


+ (permutations)

p-Ps



+



# 磁場によるエネルギーシフト

磁場をかけると状態の混合が起きる

$$|E_0\rangle = C_0^0 |00\rangle + C_1^0 |10\rangle$$

$$|E_1\rangle = C_0^1 |00\rangle + C_1^1 |10\rangle$$

$|11\rangle, |1-1\rangle$  はそのまま

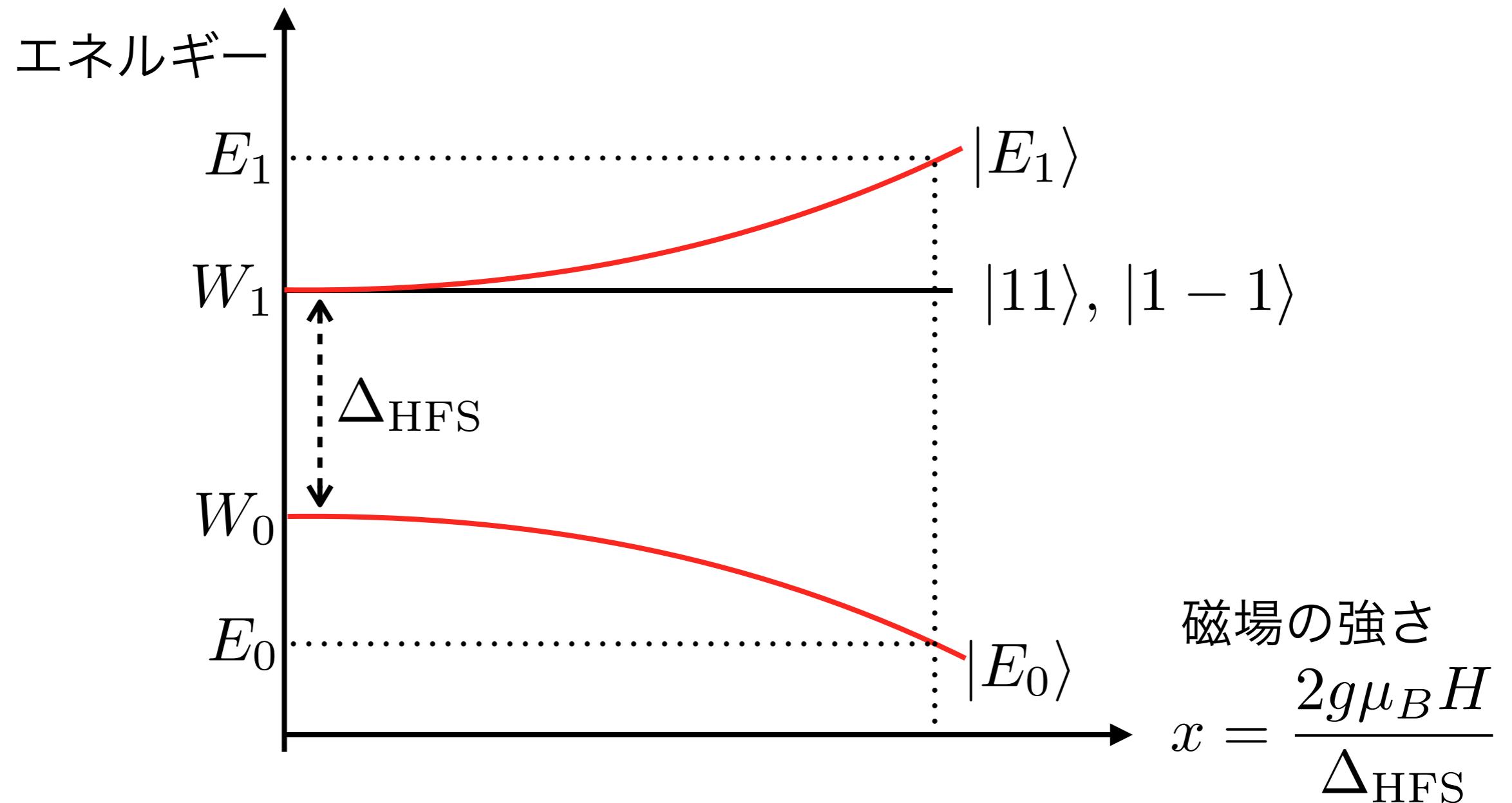
$$C_1^0 = -C_0^1 = \sqrt{\frac{1}{2} \left( 1 - \frac{1}{\sqrt{1+x^2}} \right)}$$

$$C_1^1 = C_0^0 = \sqrt{\frac{1}{2} \left( 1 + \frac{1}{\sqrt{1+x^2}} \right)}$$

# 磁場によるエネルギーシフト

## ポジトロニウムの超微細構造

磁場によってエネルギー準位の縮退が一部とける



# 磁場によるエネルギーシフト

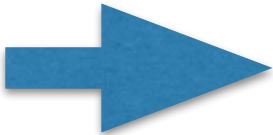
## ポジトロニウムの超微細構造

磁場によってエネルギー準位の縮退が一部とける

$$E_0 = \frac{1}{2}(W_1 + W_0) - \frac{1}{2}(W_1 - W_0)\sqrt{1 + x^2}$$

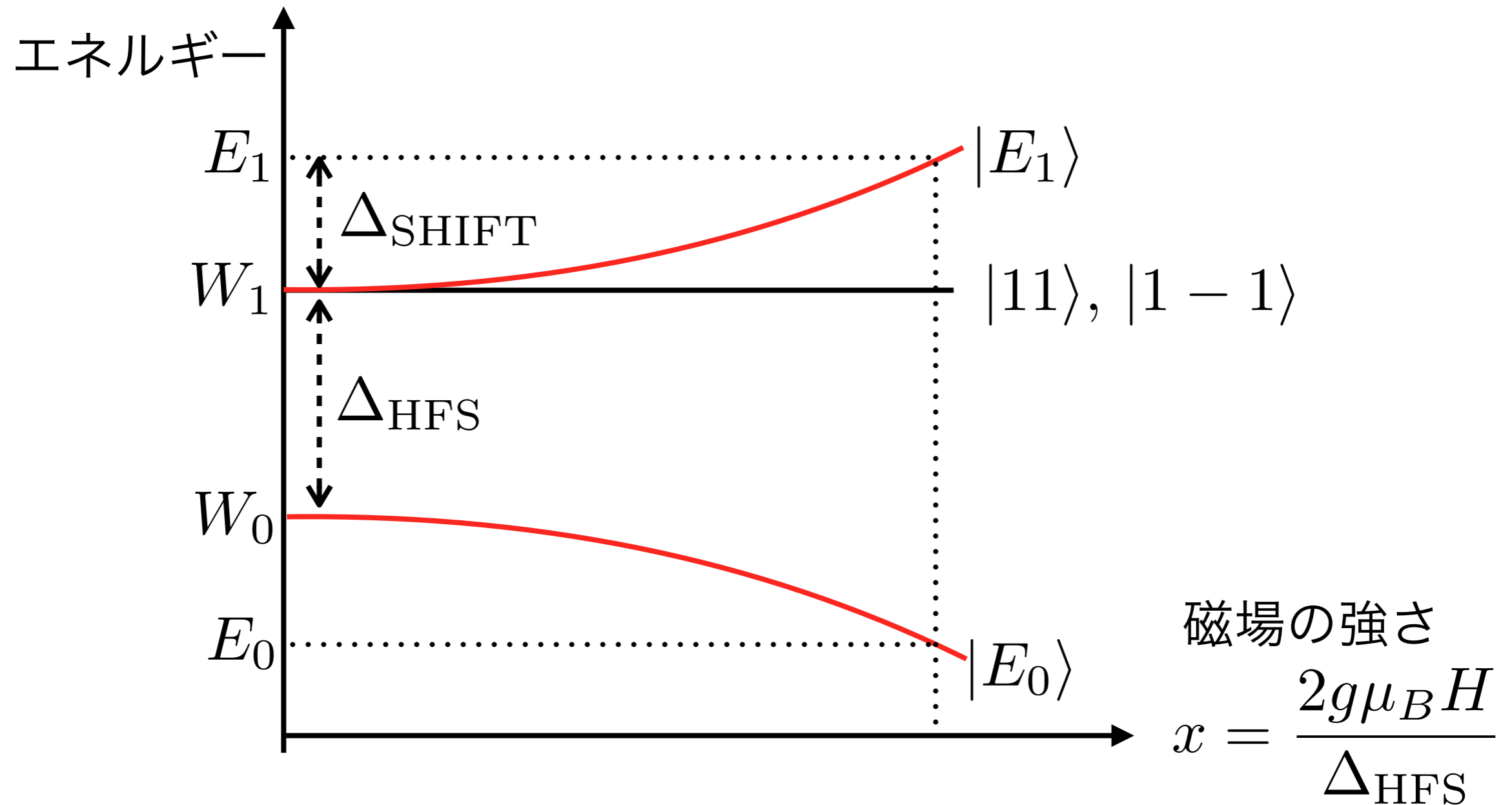
$$E_1 = \frac{1}{2}(W_1 + W_0) - \frac{1}{2}(W_1 - W_0)\sqrt{1 + x^2}$$

$$E_2 = E_3 = W_1$$


$$\Delta_{\text{SHIFT}} = E_1 - W_1 = \frac{1}{2}\Delta_{\text{HFS}}(-1 + \sqrt{1 + x^2})$$

$\Delta_{\text{SHIFT}}$  の測定によって  $\Delta_{\text{HFS}}$  がわかる

# 磁場によるエネルギーシフト



$\Delta_{\text{SHIFT}}$  の測定によって  $\Delta_{\text{HFS}}$  がわかる



# 磁場による振動

各時刻の崩壊の振幅の二乗

$$\begin{aligned} |M(t)|^2 &= \sum_{m,n} M_n \rho_{mn}(t) M_n^* \\ &= \frac{(4\pi)^3 e^6}{2m^2} \left[ \frac{x^2}{4} F_{zz} e^{-\Gamma_0 t} + \left( 1 - Px \cos \theta - \frac{x^2}{4} \right) F_{zz} e^{-\Gamma_1 t} \right. \\ &\quad \left. + (F_{xx} + F_{yy}) e^{-\Gamma_2 t} + 2P \sin \theta \left( F_{zx} \cos \Omega_1 t + \left( 1 - \frac{x^2}{4} \right) F_{zy} \sin \Omega_1 t \right) e^{-(\Gamma_1 + \Gamma_2)t/2} \right] \end{aligned}$$

$$\Omega_1 = E_1 - W_1 = \Delta_{\text{SHIFT}}$$

$$\Gamma_1 = \frac{1}{4} x^2 \Gamma_s + \Gamma_t \quad \Gamma_t : \text{三重項の崩壊幅}$$

$$\Gamma_2 = \Gamma_t \quad \Gamma_s : \text{一重項の崩壊幅}$$

# 磁場による振動

3 $\gamma$ 消滅の断面積

$$d\sigma = \frac{|M(t)|^2}{(2\pi)^5 32m^2 v} \delta(\mathbf{k}_1 + \mathbf{k}_2 + \mathbf{k}_3) \delta(\omega_1 + \omega_2 + \omega_3 - 2m) \frac{d^3\mathbf{k}_1 d^3\mathbf{k}_2 d^3\mathbf{k}_3}{\omega_1 \omega_2 \omega_3}$$

$$\sigma \simeq (1 + h \sin \Omega_1 t) e^{-(\Gamma_1 + \Gamma_2)t/2}$$

振動数  $\Delta_{\text{SHIFT}}$  で断面積は時間振動する

$$\Omega_1 = E_1 - W_1 = \Delta_{\text{SHIFT}}$$

$$\Gamma_1 = \frac{1}{4} x^2 \Gamma_s + \Gamma_t \quad \Gamma_t : \text{三重項の崩壊幅}$$

$$\Gamma_2 = \Gamma_t \quad \Gamma_s : \text{一重項の崩壊幅}$$

# 磁場による振動

$$h = 0.25P |\sin \theta \sin \alpha \sin 2\beta|$$

$\theta$  : 陽電子の偏極と磁場のなす角

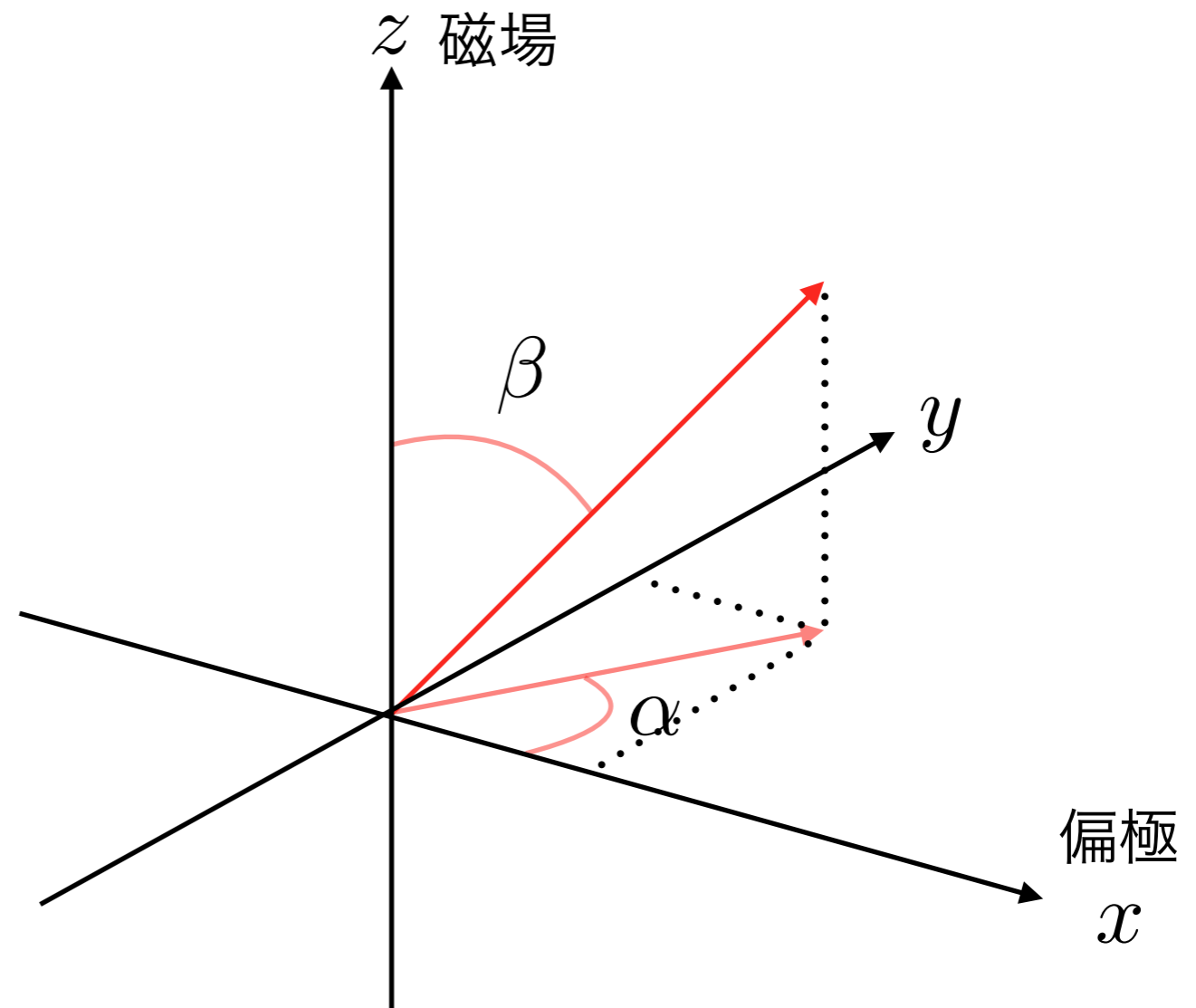
$\alpha, \beta$  : 検出器のある平面の法線ベクトルの方位角、極角

今回の実験では

$$\theta = 90^\circ$$

$$\alpha = 90^\circ$$

$$\beta = 45^\circ$$



# まとめ

振動数  $\Delta_{\text{SHIFT}}$  で  $3\gamma$  消滅の断面積は振動する

$$\sigma \simeq (1 + h \sin \Omega_1 t) e^{-(\Gamma_1 + \Gamma_2)t/2}$$

$\Delta_{\text{SHIFT}}$  の値と磁場の値によって  $\Delta_{\text{HFS}}$  がわかる

$$\Delta_{\text{SHIFT}} = E_1 - W_1 = \frac{1}{2} \Delta_{\text{HFS}} (-1 + \sqrt{1 + x^2})$$

Menu

✓ 理論

⇒ 実験

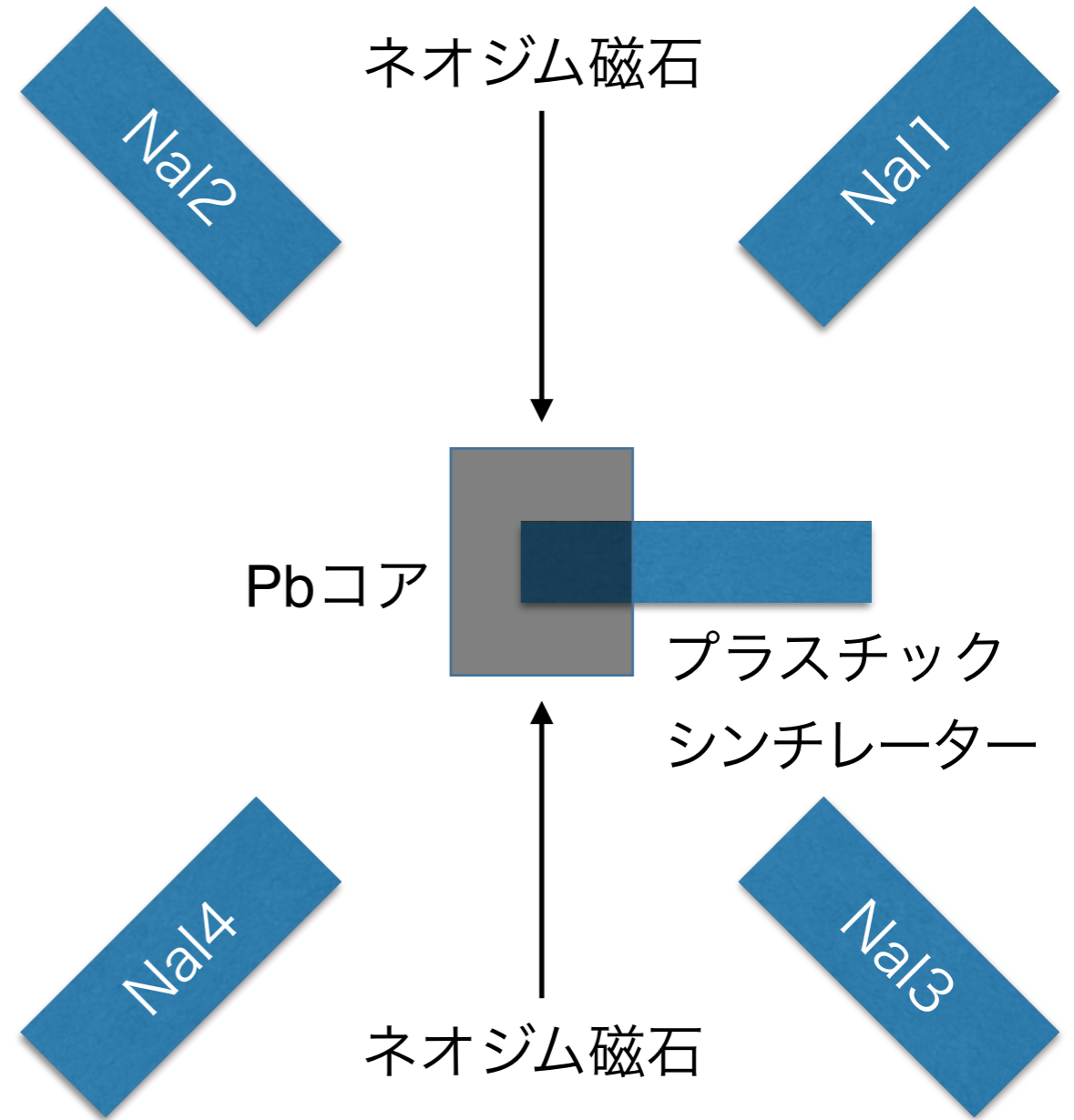
解析

結論

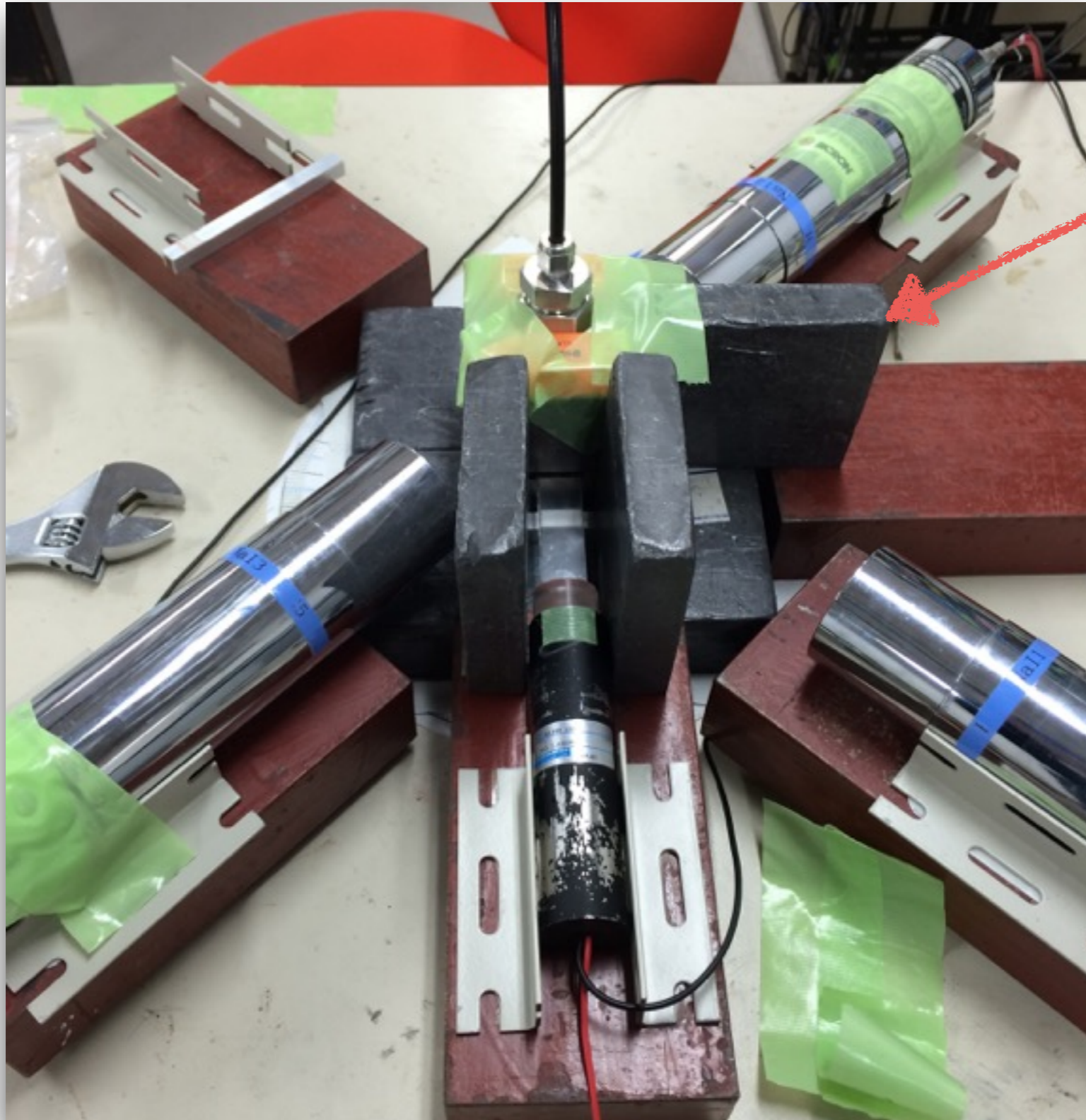
# 実験

担当：蓑島淳

# 外観



# 外観



NaIの間にも  
鉛を置いた



# 前年度からの変更 (装置)

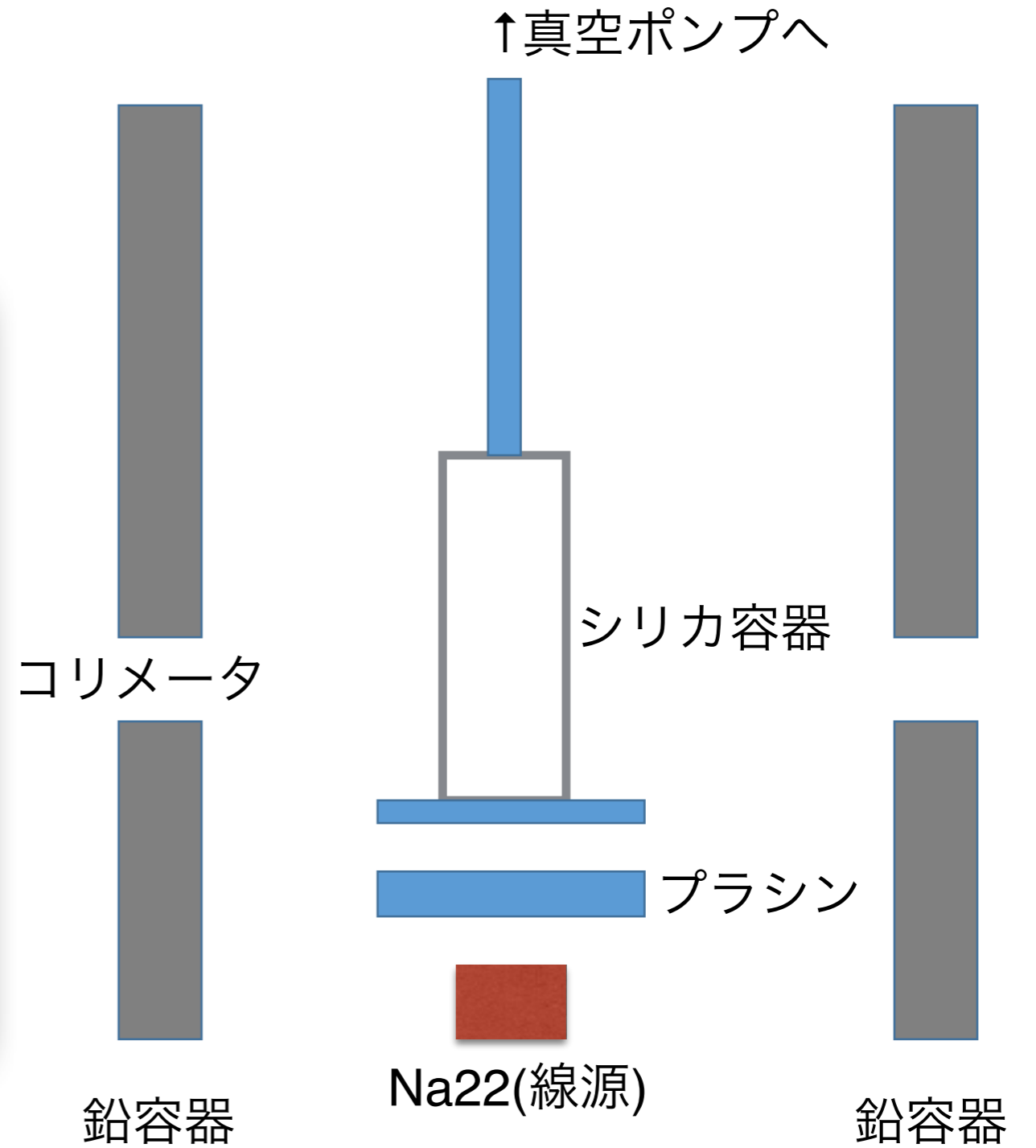
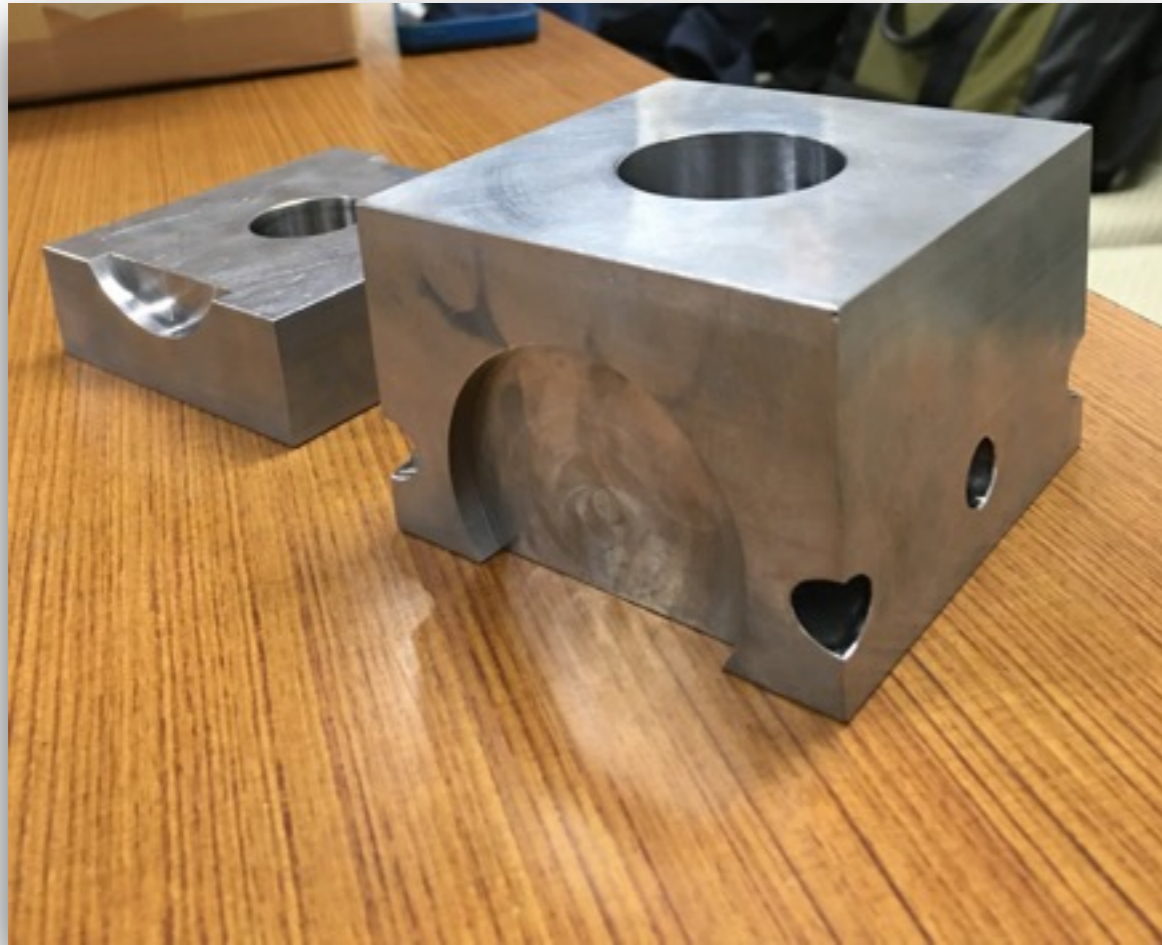
線源とNaIの間に何もなし



鉛容器を導入

Na22からNaIへ直接入る $\beta^+$ を遮蔽する

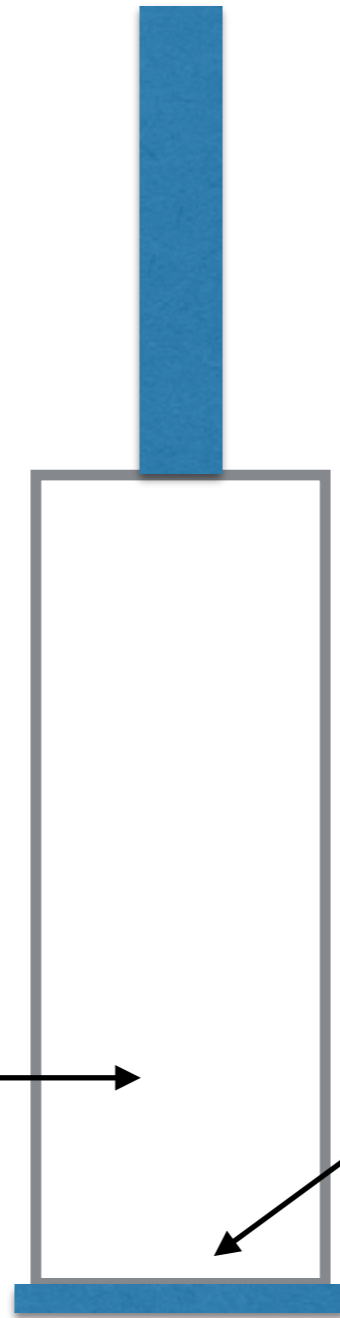
# 装置：Pbコア



# 装置：シリカ容器

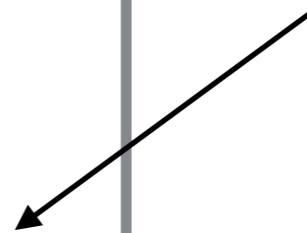
乾燥させたシリカパウダー

Na22からくる  
陽電子を止めて  
Psを形成させる

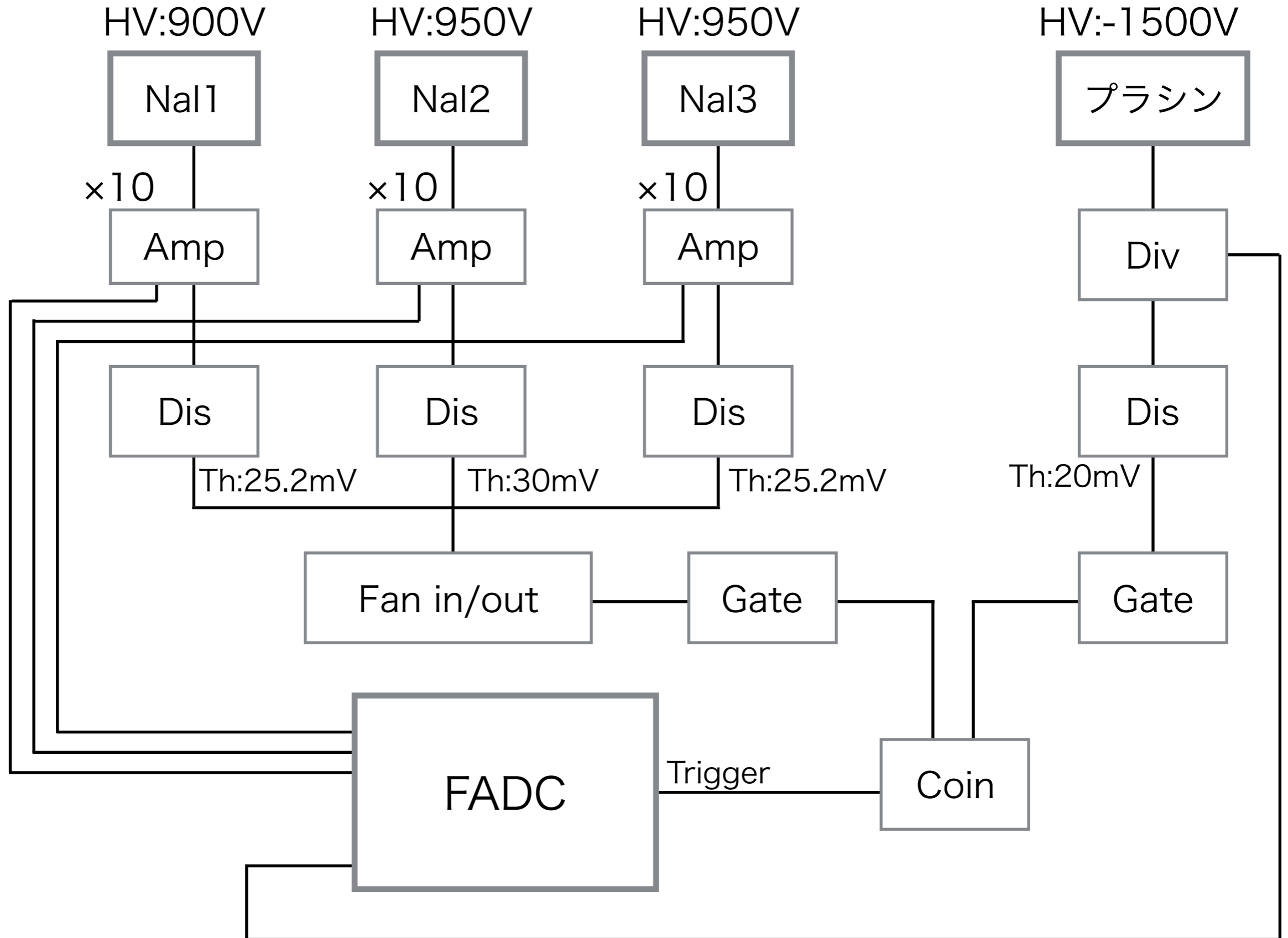


マイラーフィルム

$\beta^+$ を止めないような  
薄い蓋



# 論理回路



# 前年度との違い（回路）

ADCでエネルギー、TDCで時間をそれぞれ測定



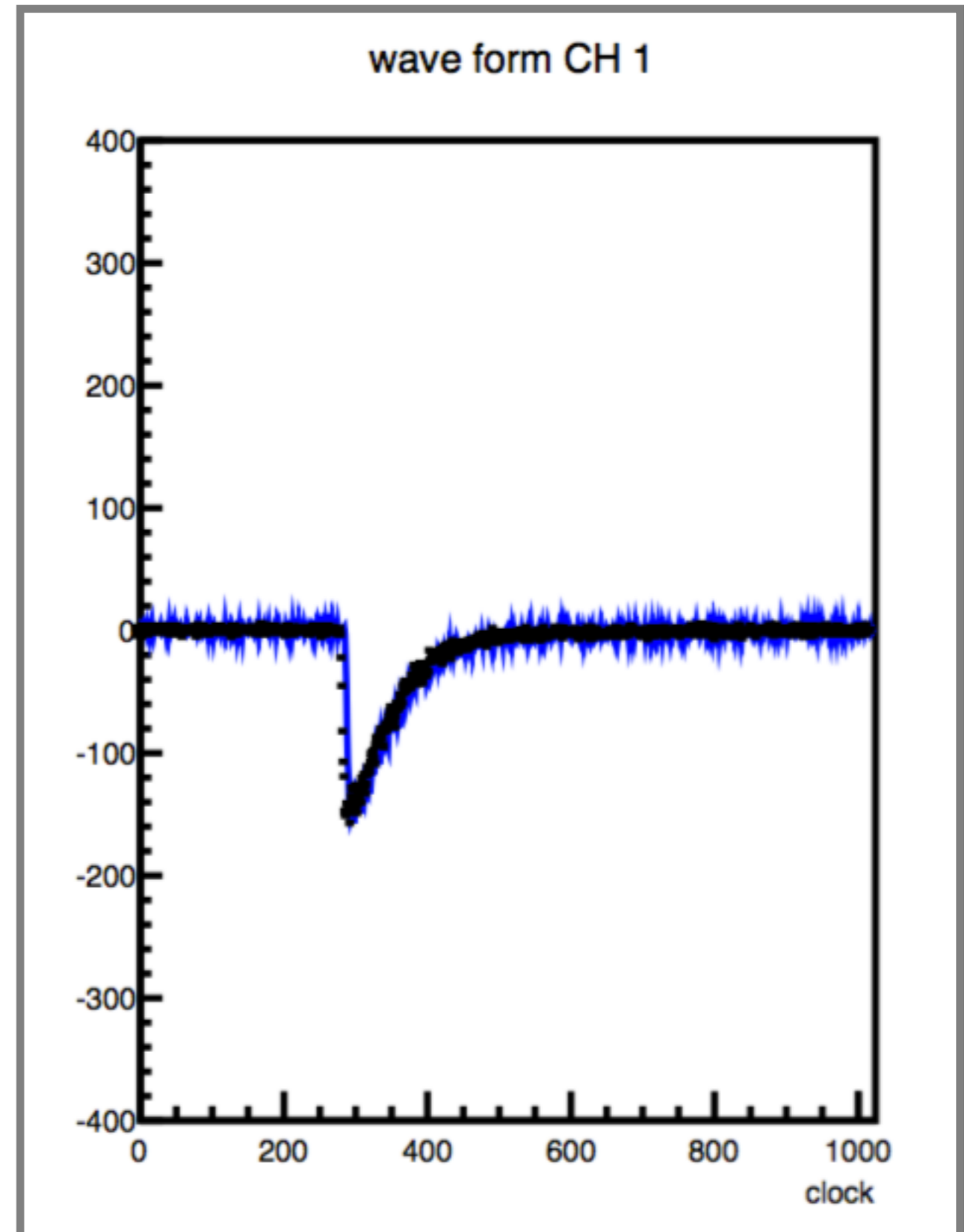
ADC、TDCをやめて、  
FADCで波形データを  
そのまま記録



# 前年度との違い（回路）

FADC

波形データから  
 $\beta^+$  や崩壊  $\gamma$  が  
観測された時刻を  
解析的に求めれば  
 $P_s$  の寿命が求まる

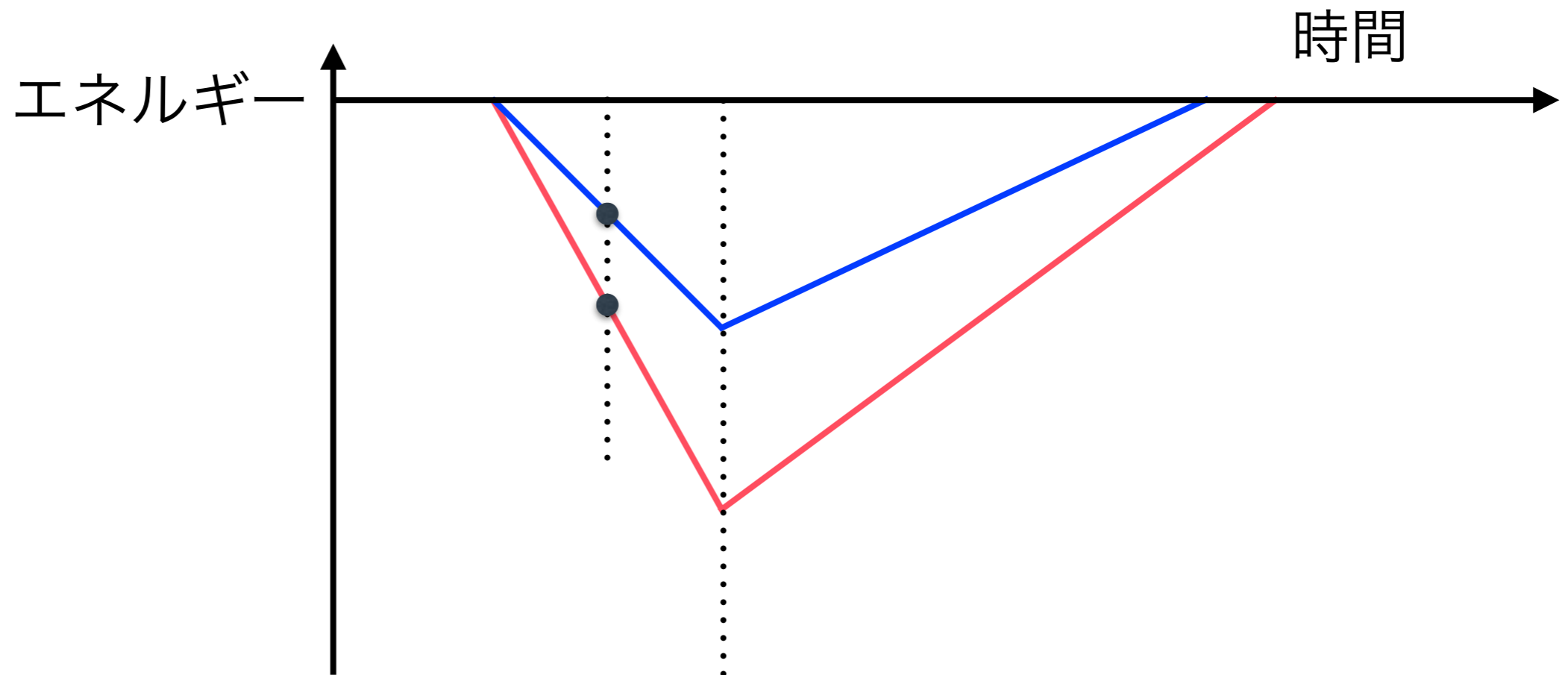


# 前年度との違い（回路）

## FADC

波形の最小値と立ち下りの中点を到達時刻として採用

→到達時刻のエネルギー依存性を除去する



Menu

✓ 理論

✓ 実験

⇒ 解析

結論



# 解析

担当：大畠隆弘

# 較正 : Calibration

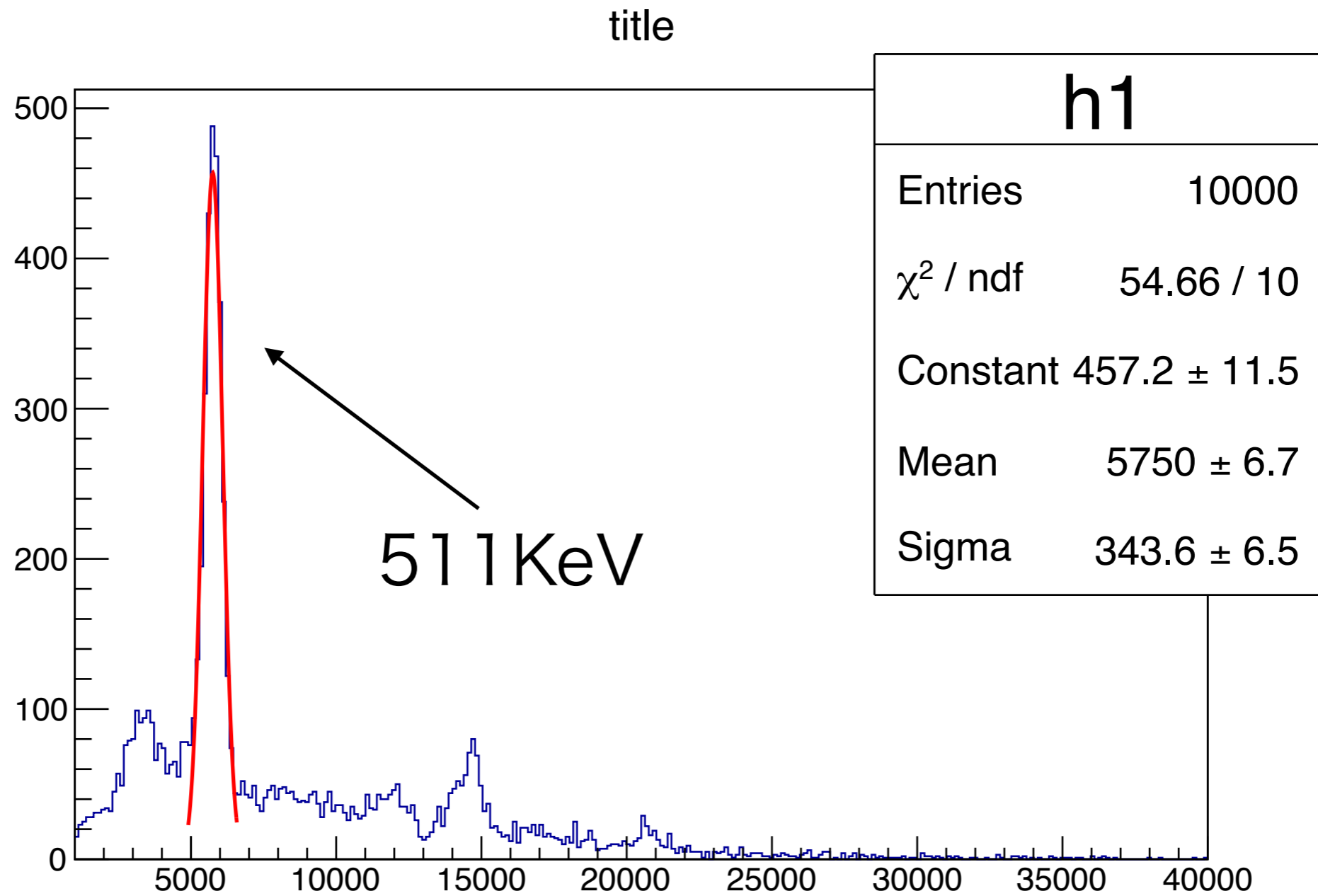
Calibrationを行って、

エネルギーとFADCのカウントの間関係を求める

今回Calibrationに使った線源はこちら :

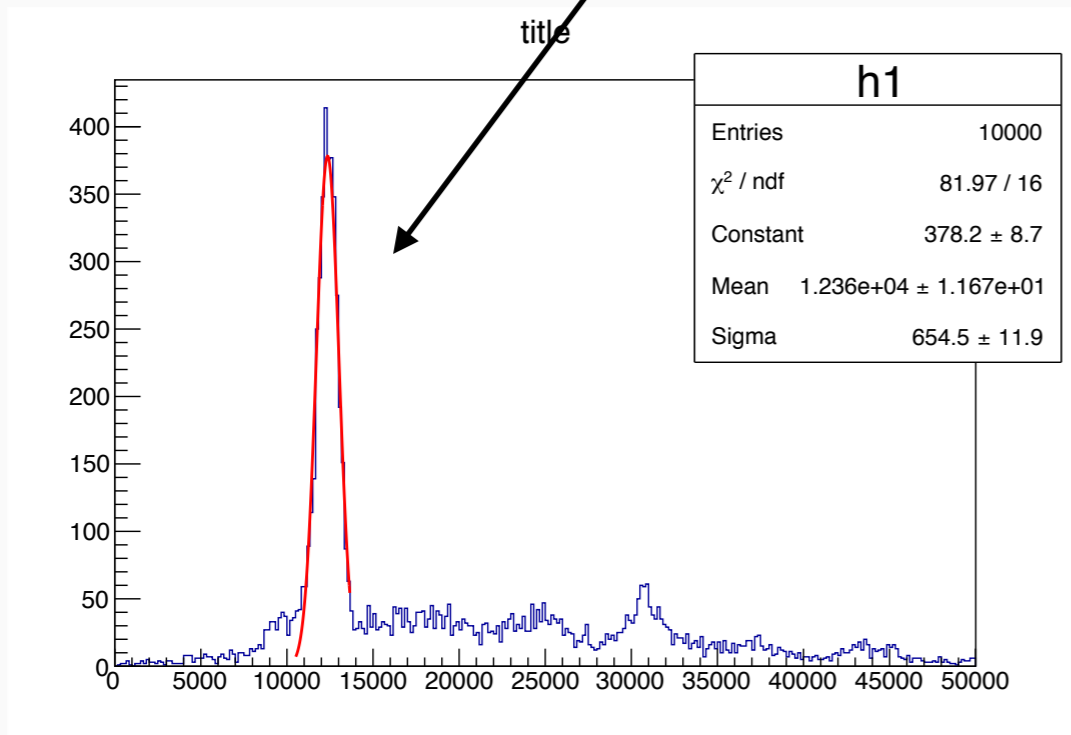
- ・ Na22 : 511KeV( $\beta+$ とNaI表面の金属のe-との対消滅の $\gamma$ 線), 1.27MeV(線源からの $\gamma$ 線)
- ・ Co60 : 1.17MeV(線源からの $\gamma$ 線) , 1.33MeV(線源からの $\gamma$ 線)
- ・ Cs137 : 0.66MeV(線源からの $\gamma$ 線)

# Na22\_NaI1



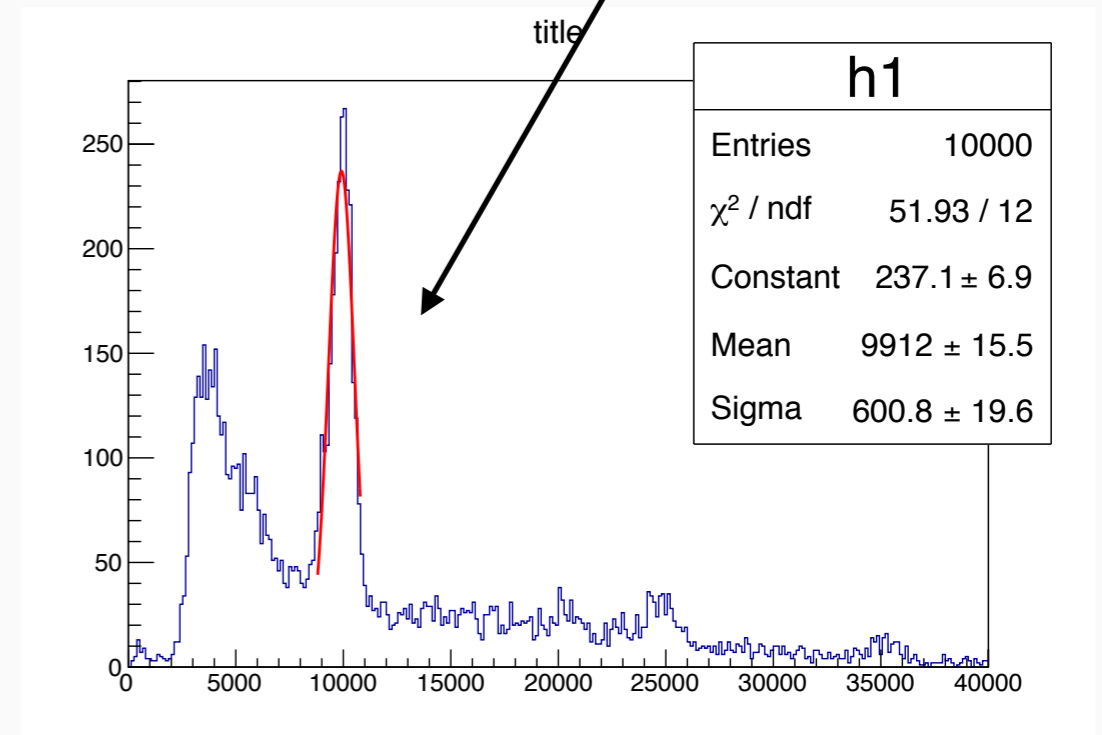
# Na22\_NaI2

511KeV



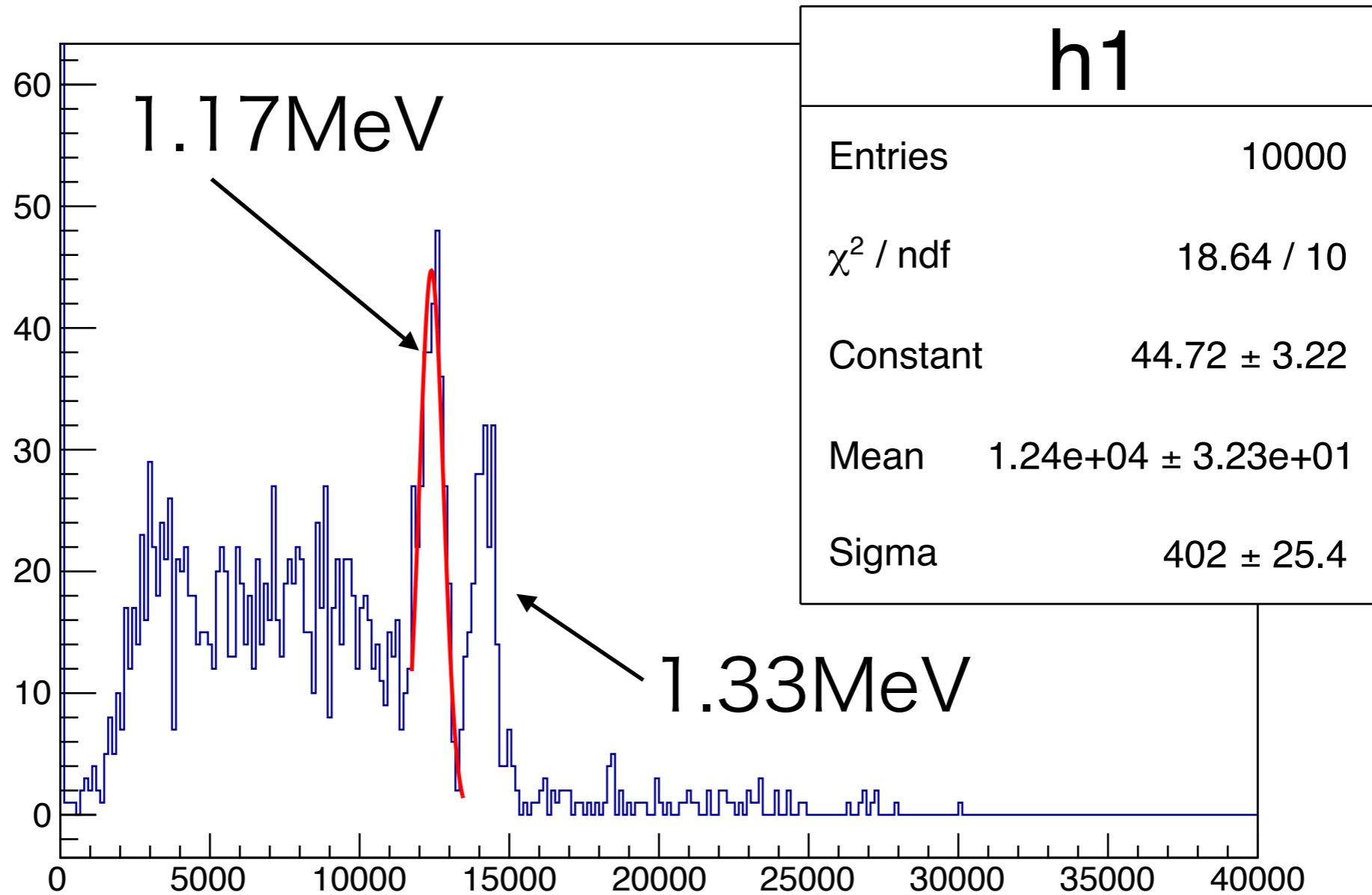
# Na22\_NaI3

511KeV



# Co60\_NaI1

title



# Co60\_NaI2

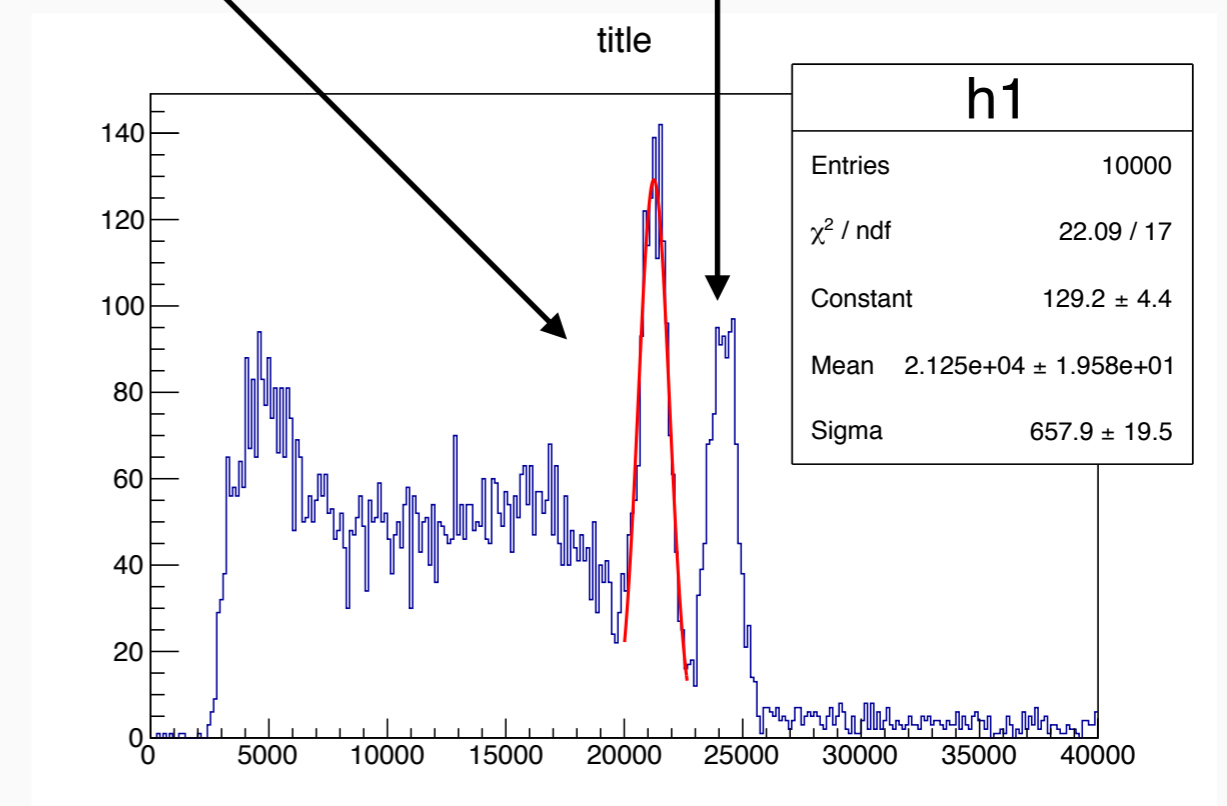
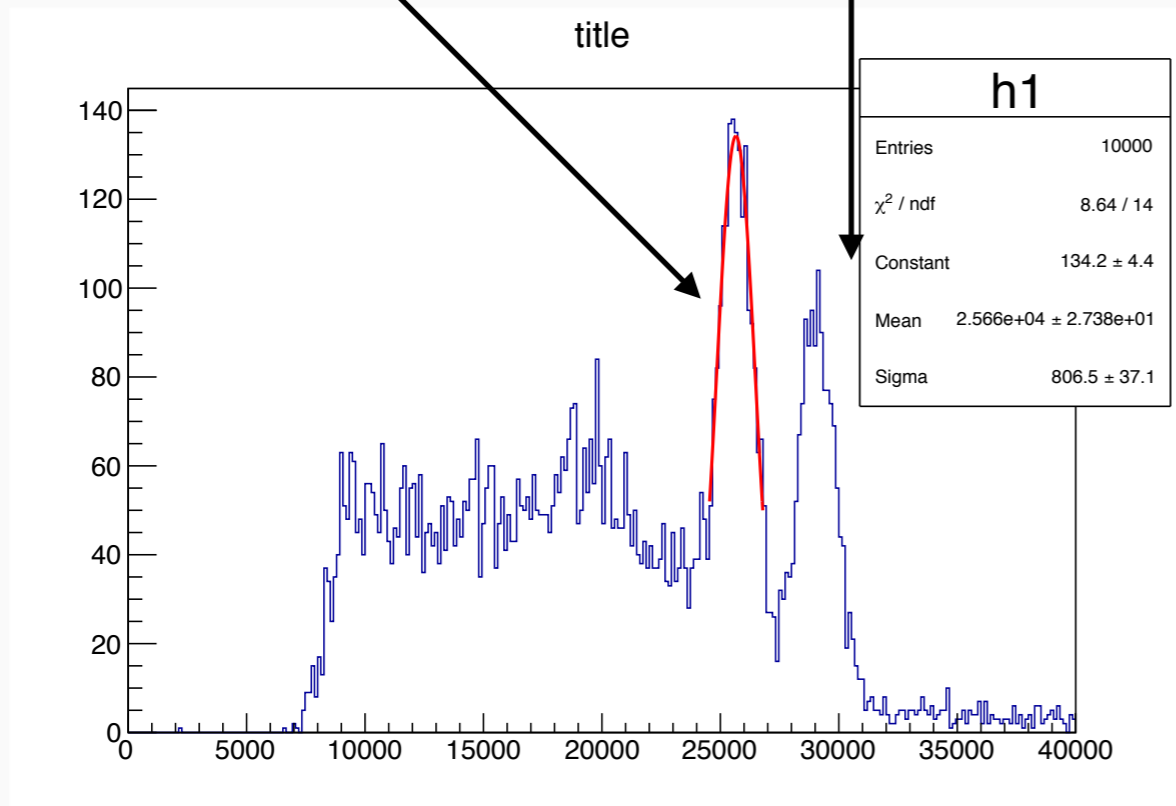
# Co60\_NaI3

1.17MeV

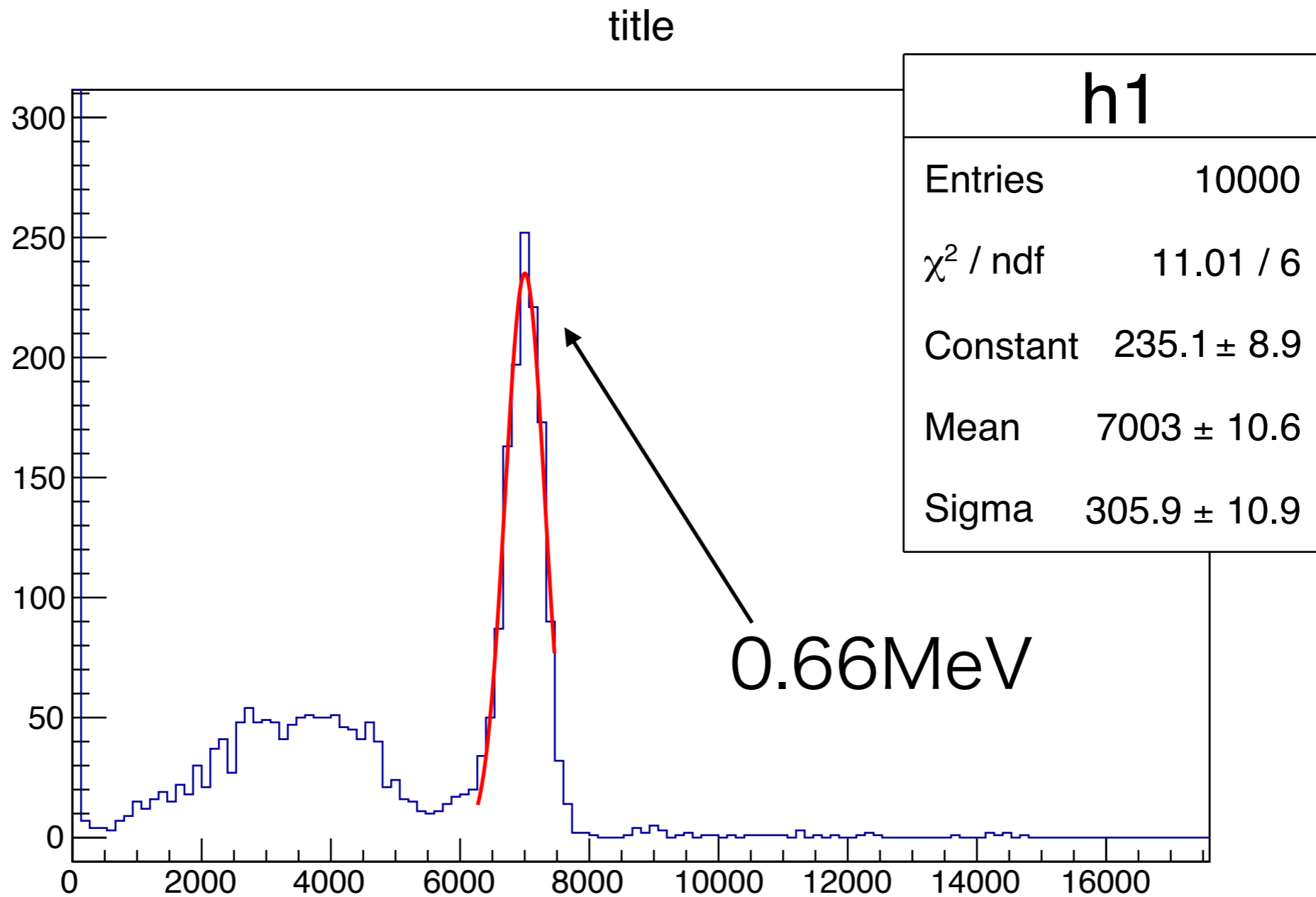
1.33MeV

1.33MeV

1.17MeV

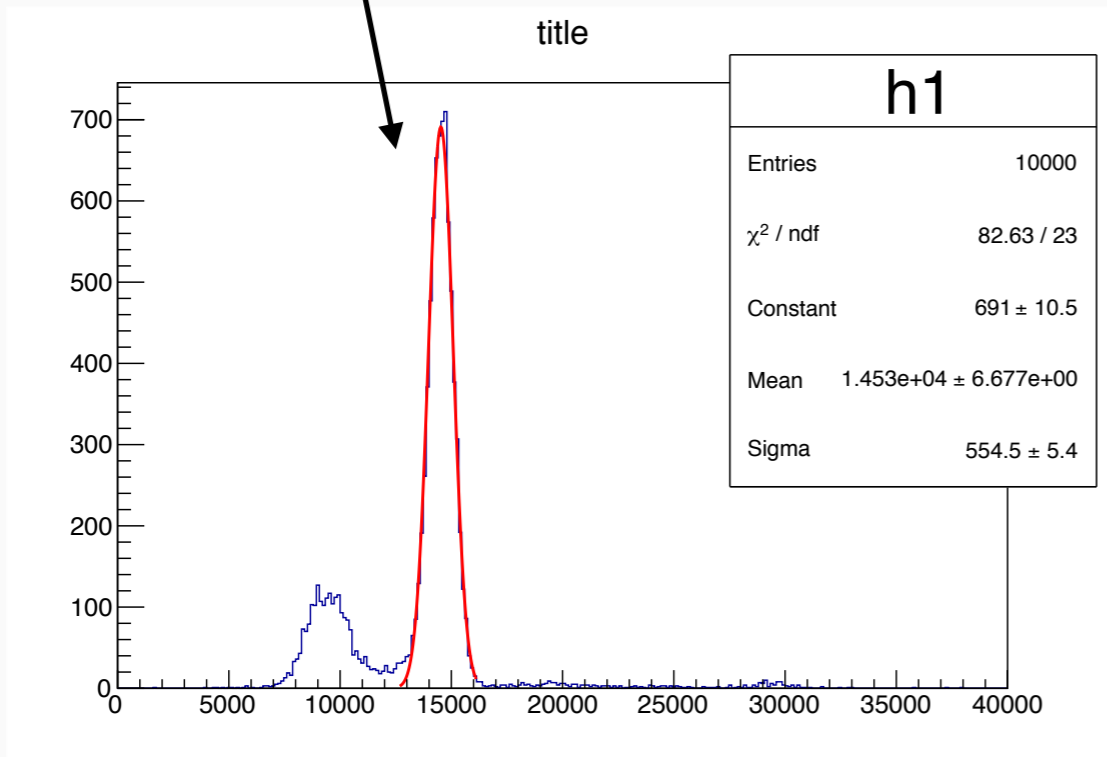


# Cs137\_NaI1



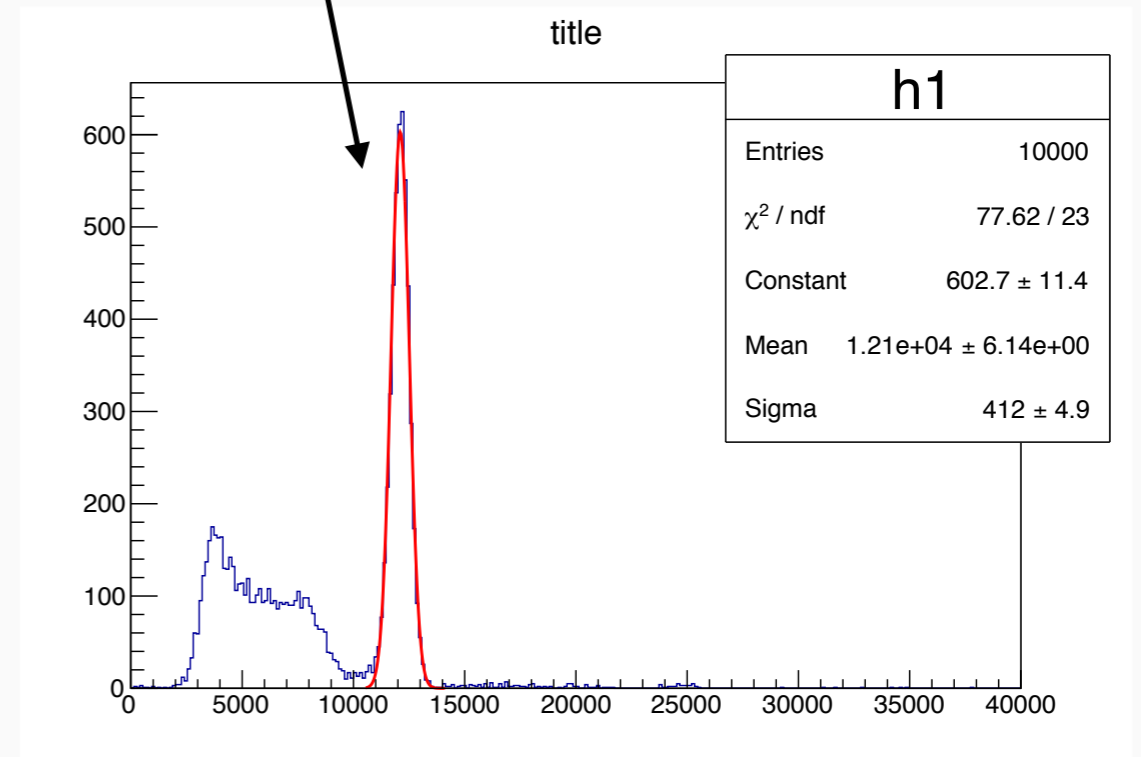
# Cs137\_NaI2

0.66MeV



# Cs137\_NaI3

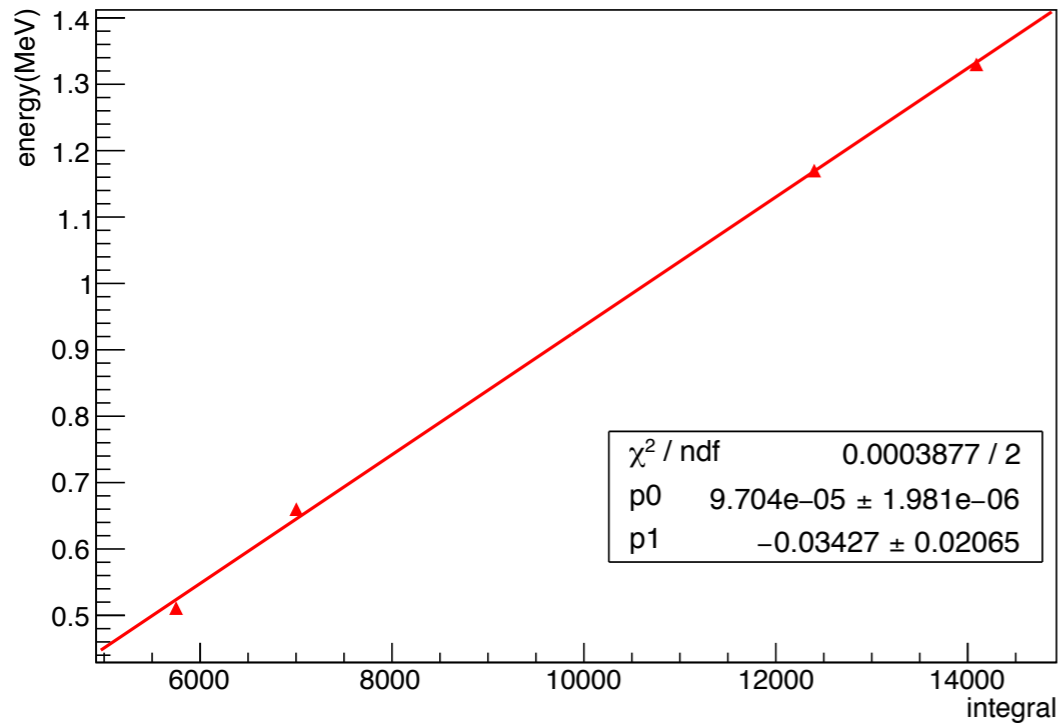
0.66MeV



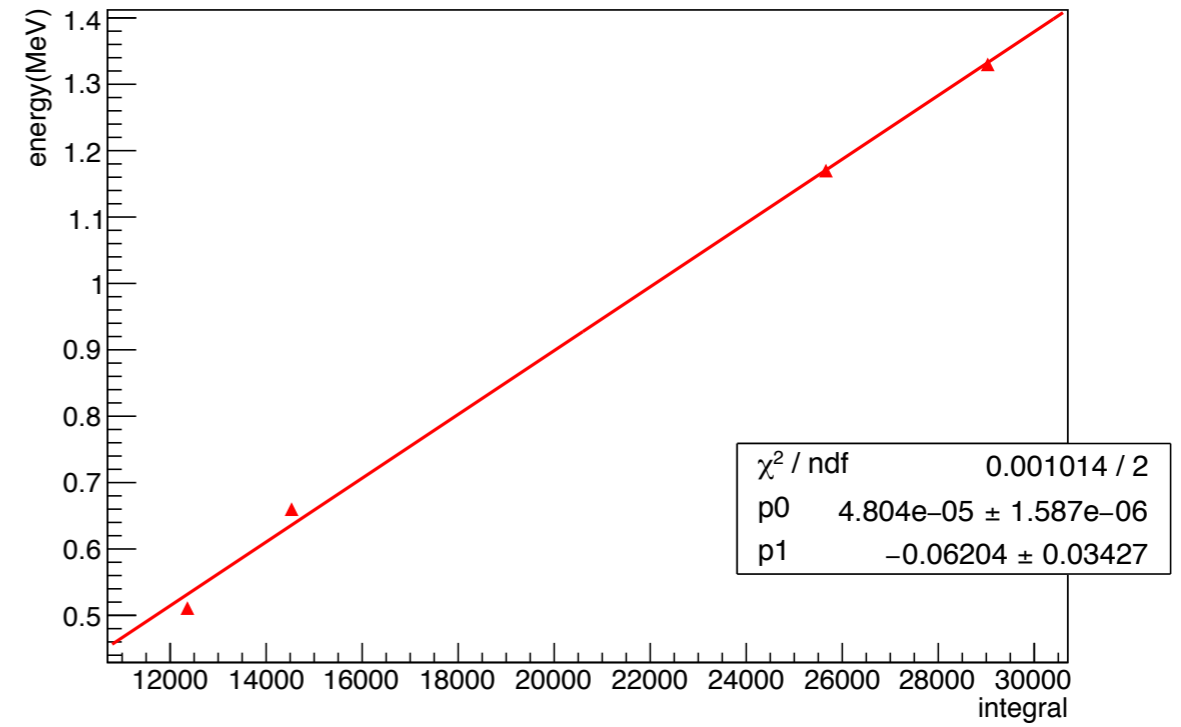


# Calibration結果

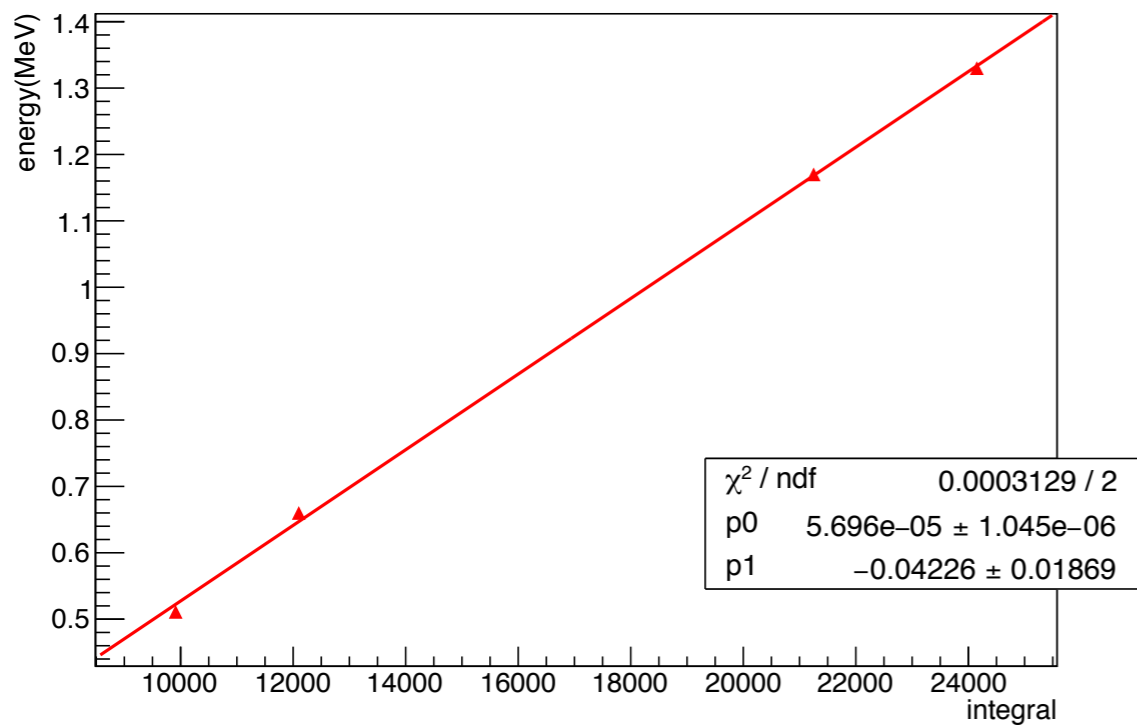
NaI1\_Calibration



NaI2\_Calibration



NaI3\_Calibration

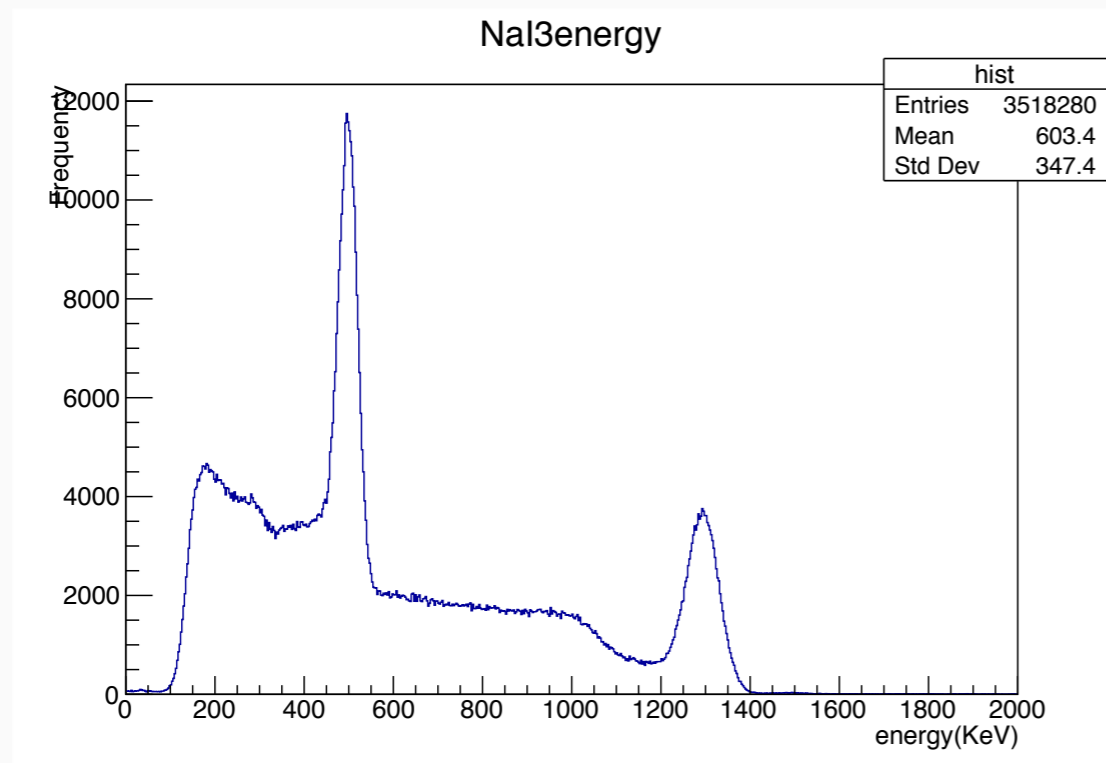
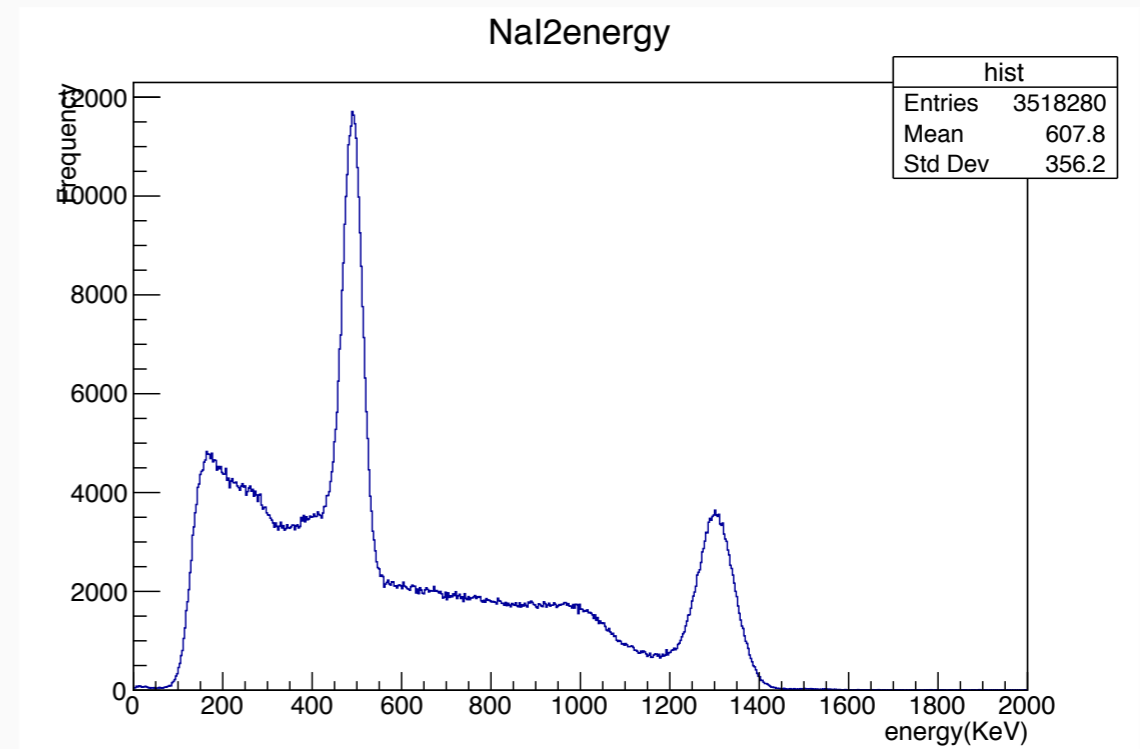
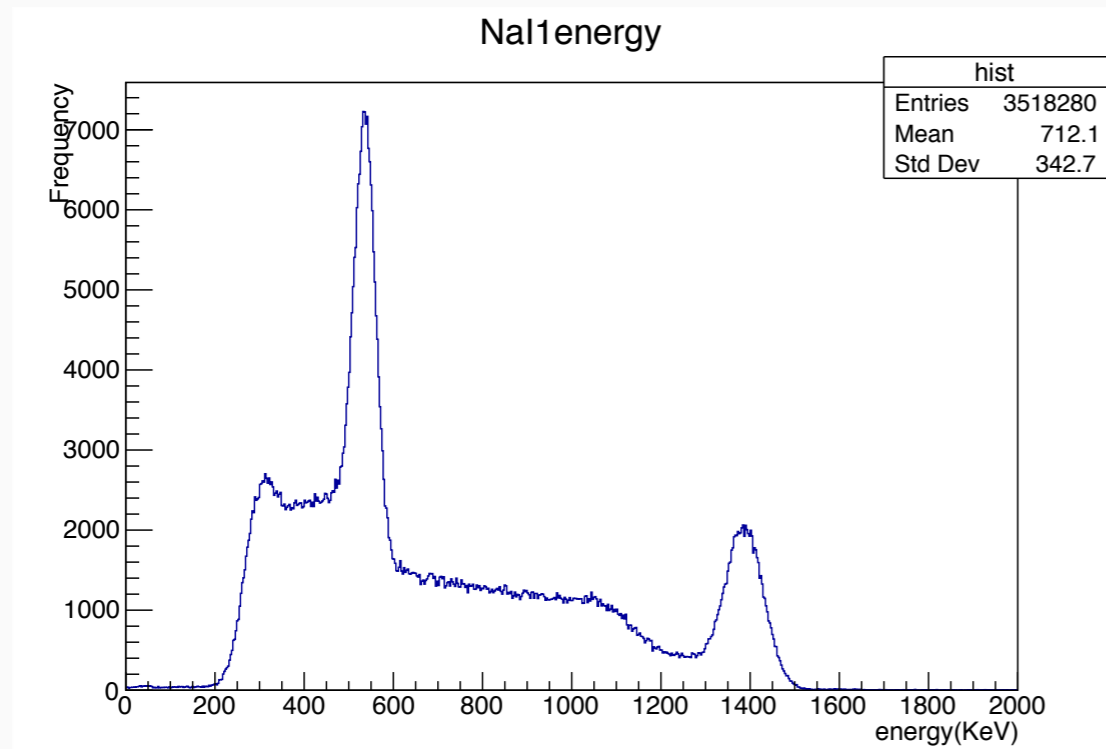


# エネルギーのヒストグラム

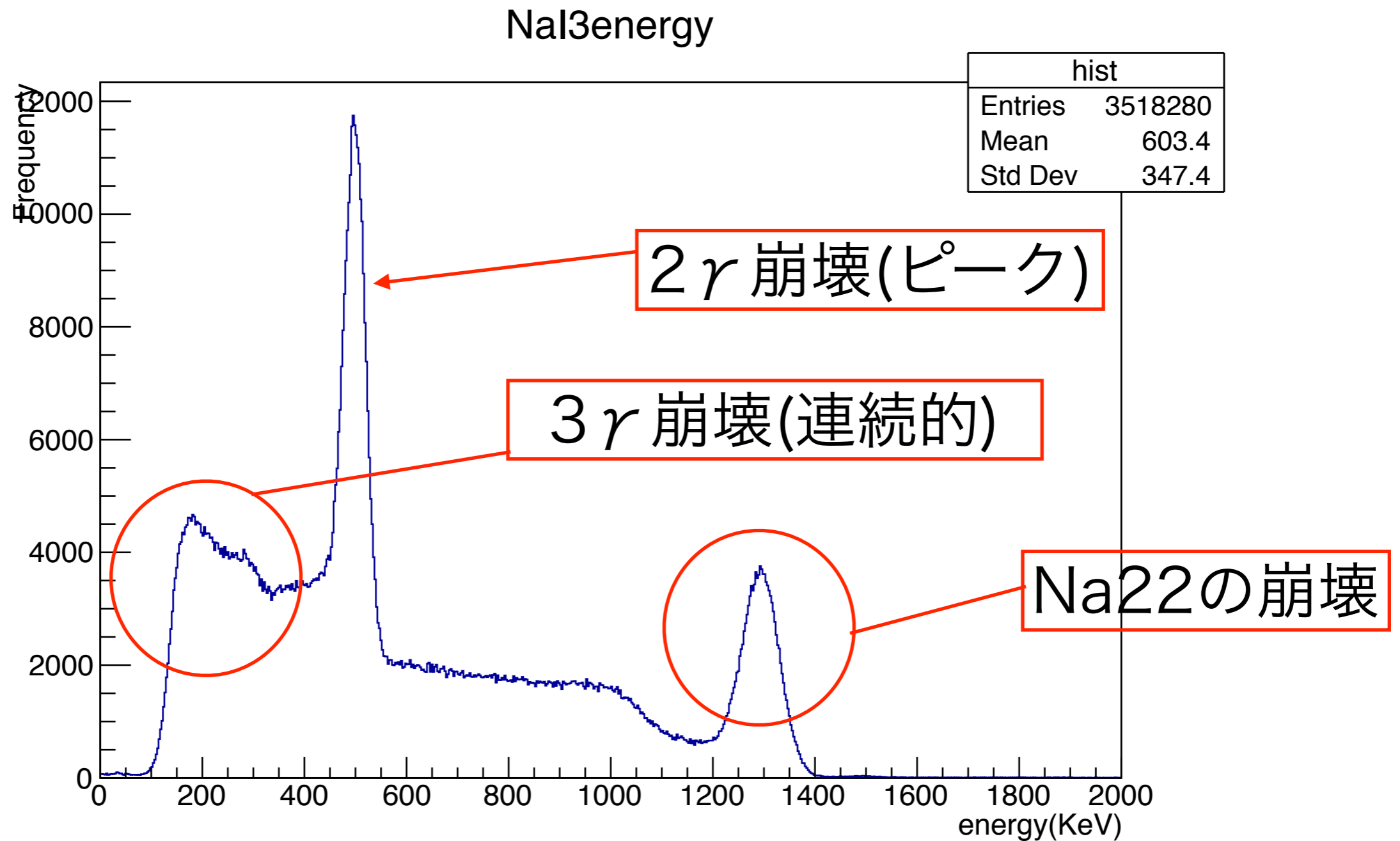
記録された信号のエネルギーのヒストグラムを見る  
ことで、

関係のない粒子のデータをカッティングする。

# エネルギーのヒストグラム



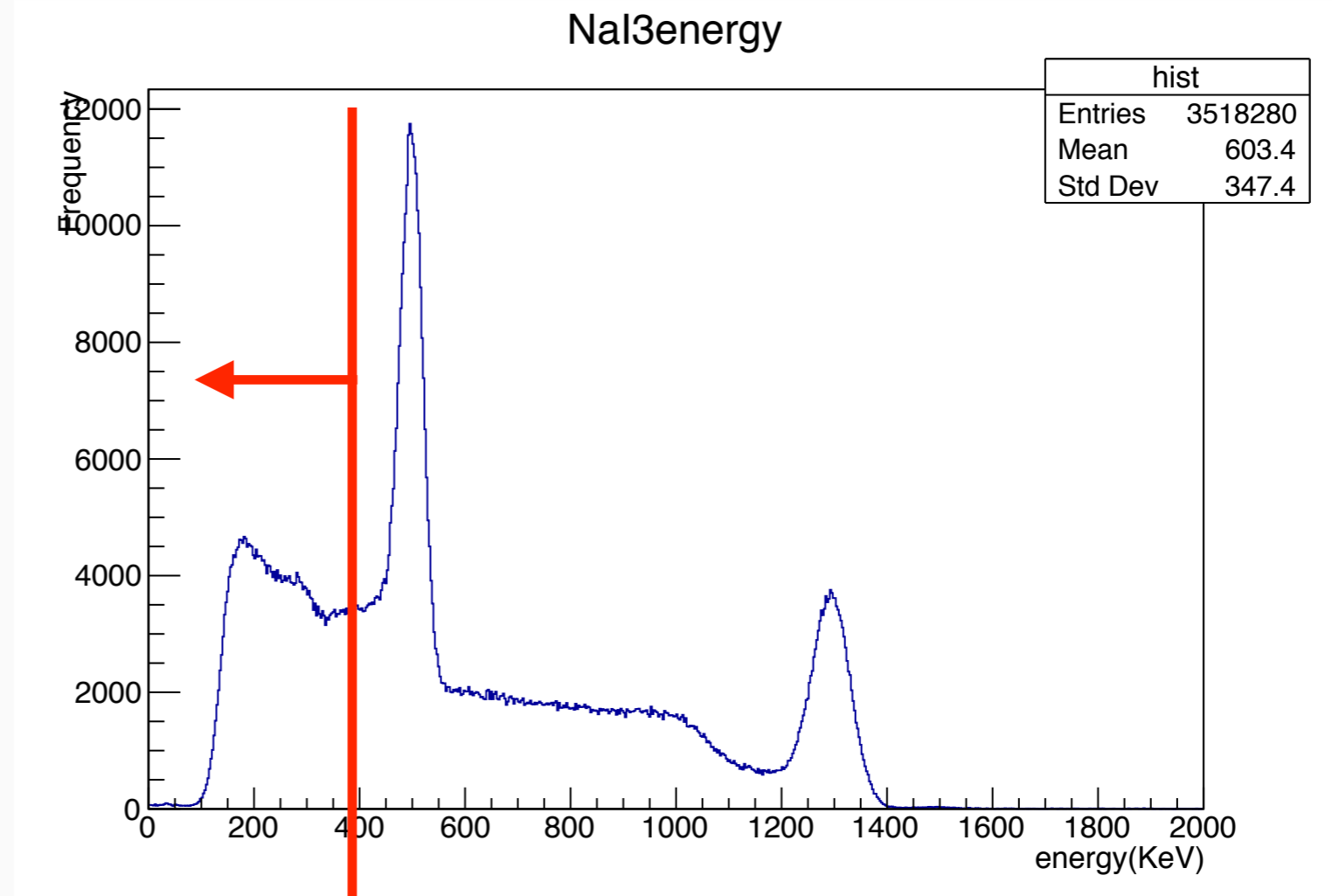
# エネルギーのヒストグラムの解釈



# エネルギーのヒストグラムの解釈

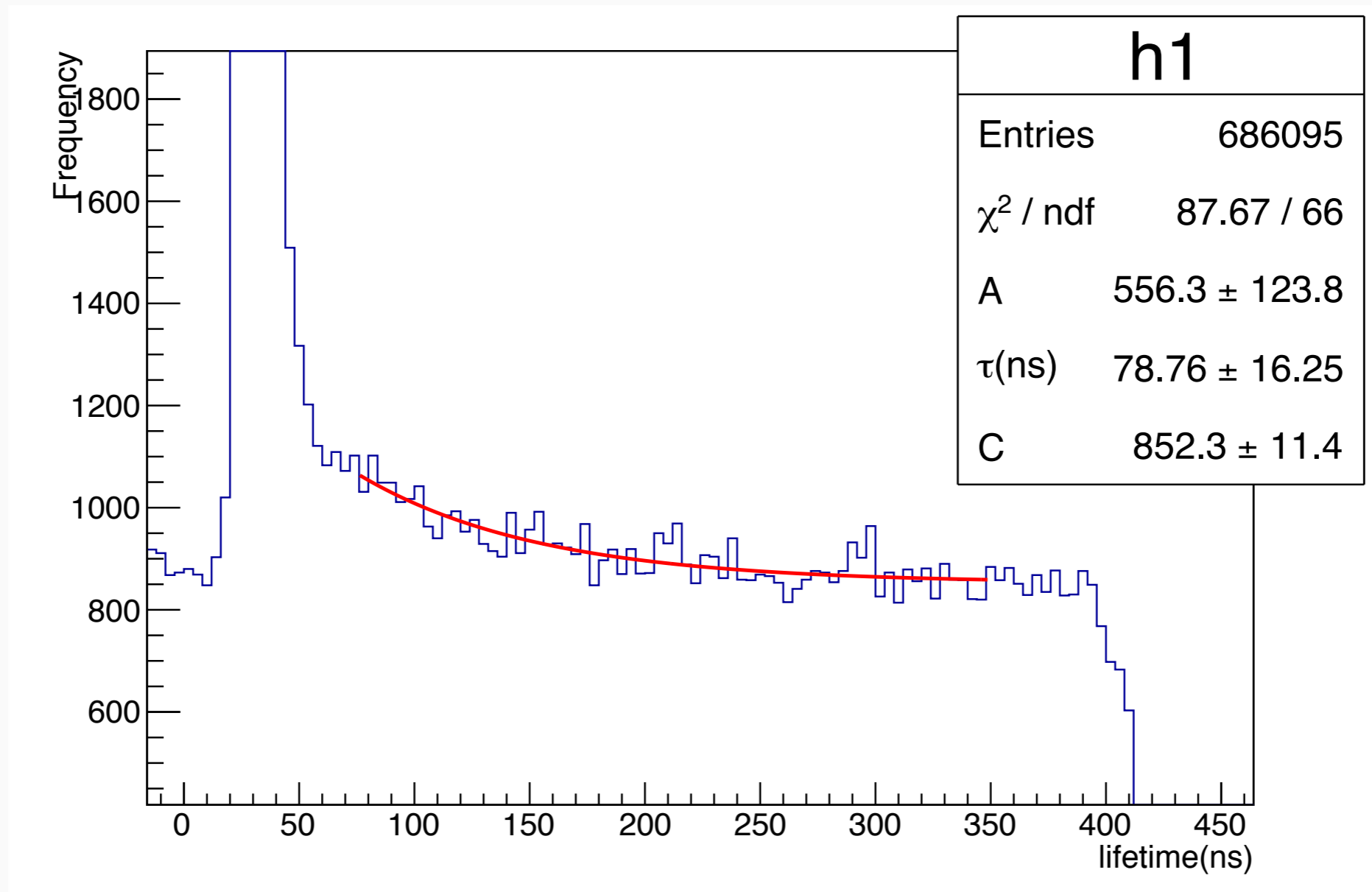
縦の赤線より  
低エネルギーの  
イベントを  
解析する。

すると、  
目的の $3\gamma$ 崩壊の  
寿命を測ることが  
出来るだろう



# 寿命曲線(Na11~3を合わせたデータ)

先程の、低エネルギーの信号のみを使って、  
寿命を計算しヒストグラムにつめる：

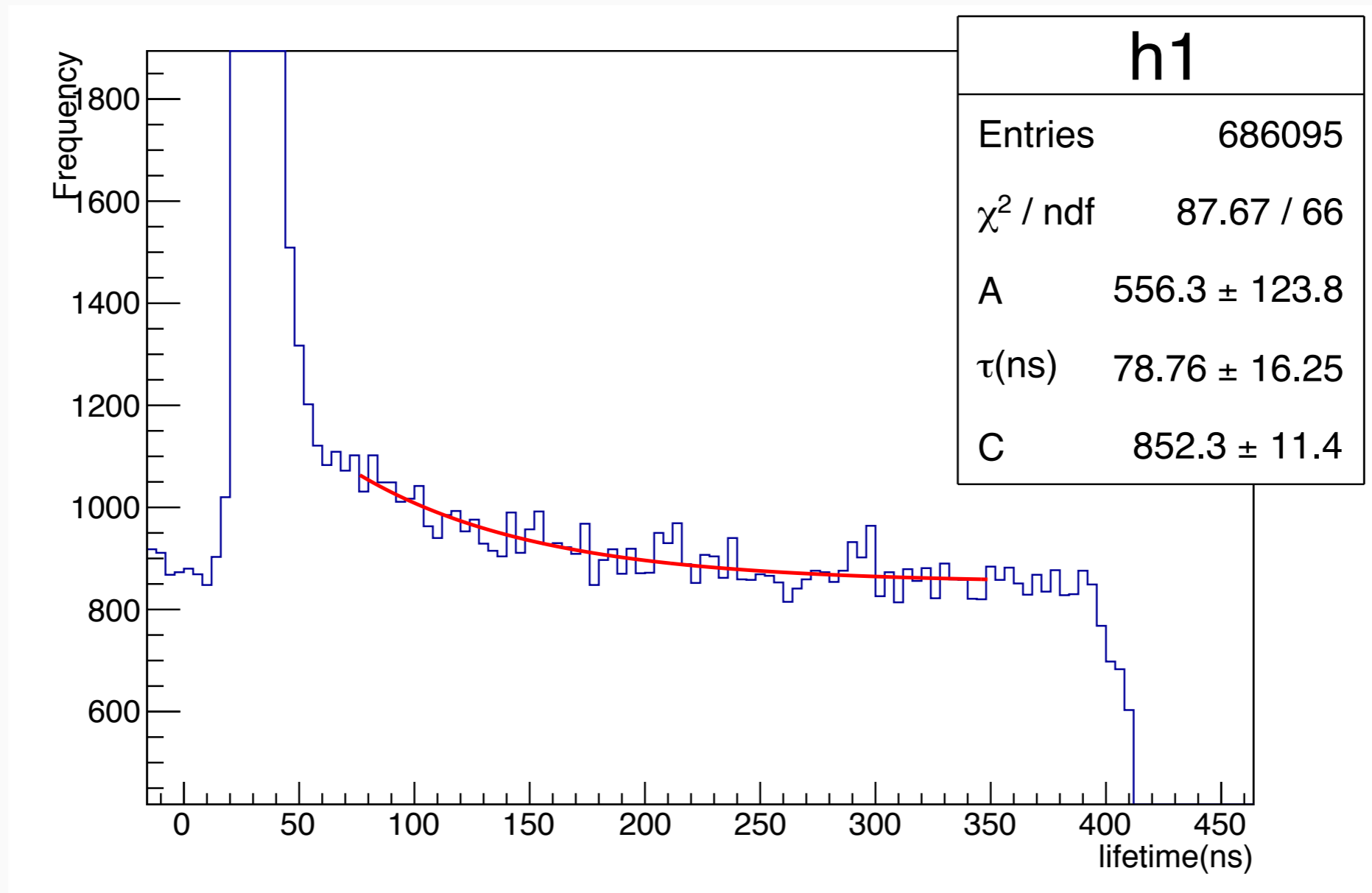


# 寿命曲線(Na11~3を合わせたデータ)

あまり**寿命曲線には見えないが**、

$$A \exp\left(-\frac{t}{\tau}\right) + C$$

でfittingすると、 $\tau = 79\text{ns}$ となる。(O-Psの理論値は142ns)



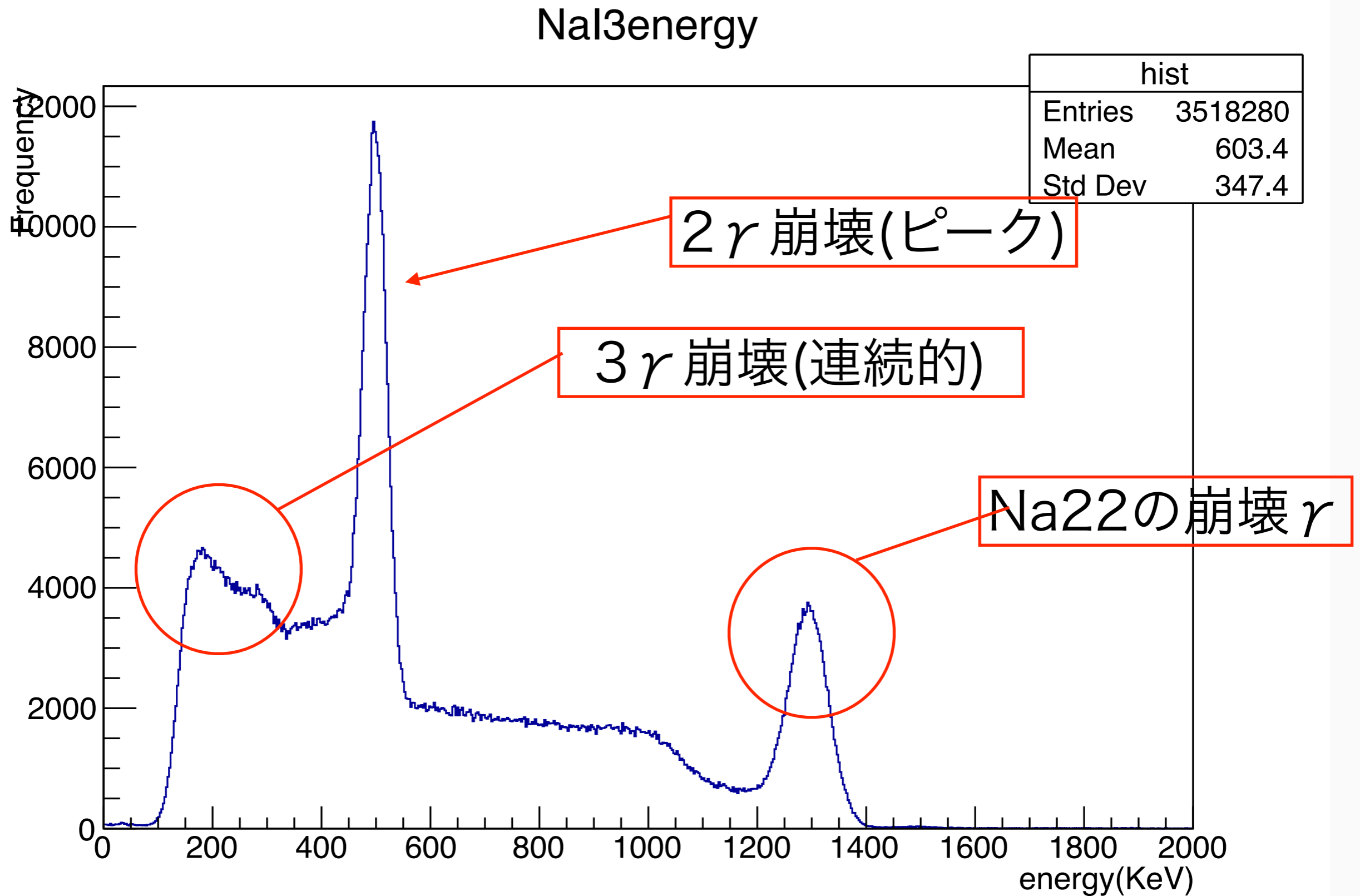
# 考察

改善案としては、次のようなものが挙げられる。

- ・ pick off補正をする。O- $P_s$ が途中でP- $P_s$ となって崩壊してしまうことがあるので、見かけ上寿命が短くなるようだ。
- ・ 真空引きを見直す。圧力計が信頼に足るものではなかった。



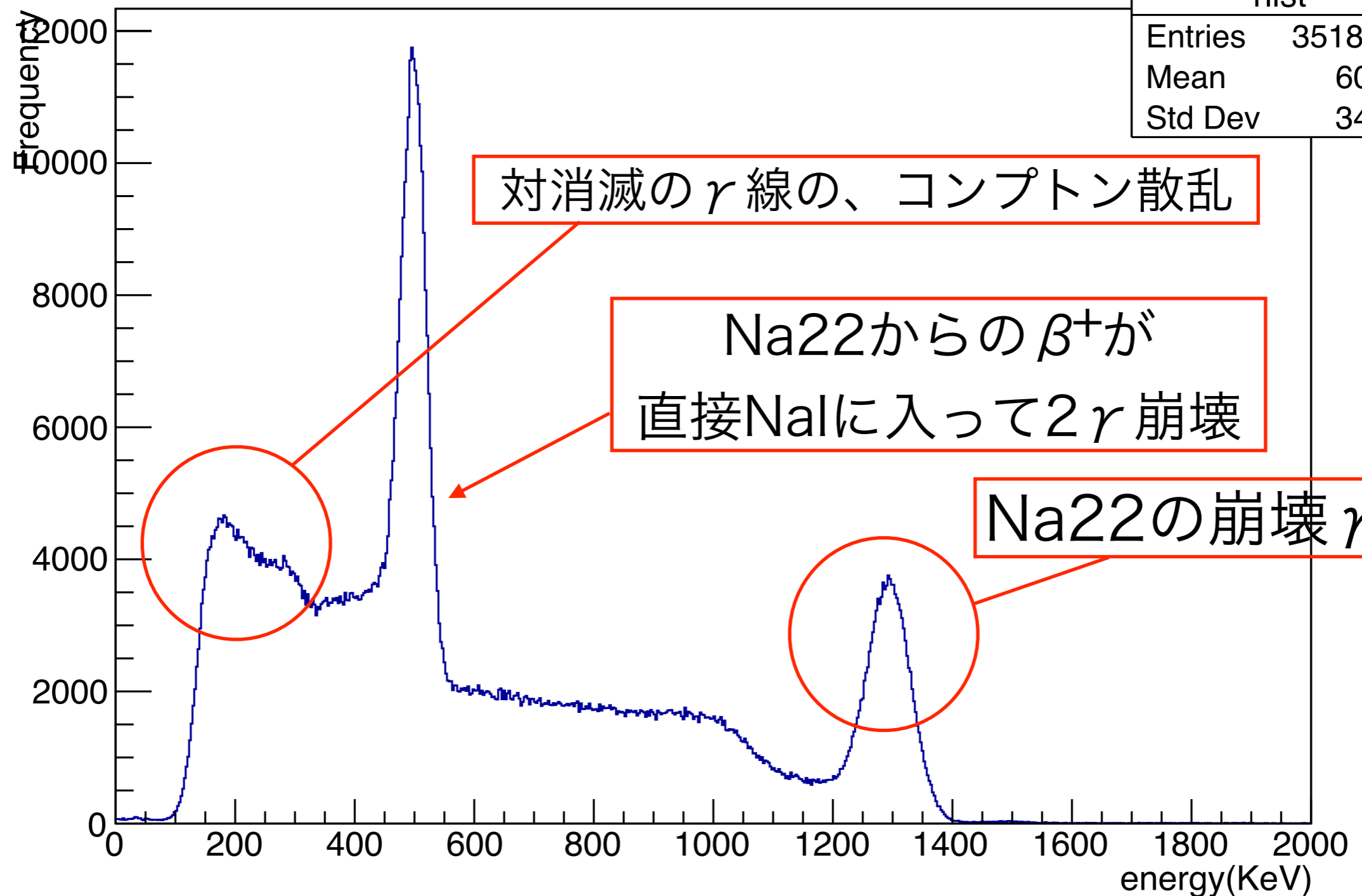
# エネルギーのヒストグラムの先程の解釈



# エネルギーのヒストグラムの他の解釈

NaI3energy

hist	
Entries	3518280
Mean	603.4
Std Dev	347.4



対消滅の $\gamma$ 線の、コンプトン散乱

Na22からの $\beta^+$ が  
直接NaIに入って $2\gamma$ 崩壊

Na22の崩壊 $\gamma$

# どちらの解釈が正しいのか

- ・ 線源を鉛容器で遮蔽していたので、 $\beta+$ は遮蔽されていて欲しい。
- ・ しかし、Na22の $\gamma$ 線がエネルギーのヒストグラムに出ている以上、 $\beta+$ も遮蔽されていない、もしくは、鉛容器表面などで反射されてNaIに到達してる可能性がある。
- ・ シリカゲルを一旦抜いて、測定して、同じヒストグラムになるようなら、ポジトロニウムではないということが言える(今度やる)。

# 量子振動の測定

無理

# Menu

✓ 理論

✓ 実験

✓ 解析

➡ 結論

# 結論

得られたo- $\text{Ps}$ の寿命は

$$78.76 \pm 16.25 \text{ ns}$$

量子振動への道は遠い…

# 謝辞

市川さん、中桐さん、平本さん  
一年間のご指導ありがとうございました



# 参考文献

Michael E. Peskin and Daniel V. Schroeder. An Introduction To Quantum Field Theory.  
Westview Press, 1995.

V G Baryshevsky, O N Metelitsa, and V V Tikhomirov.

Oscillations of the positronium decay  $\gamma$ -quantum angular distribution in a magnetic field.

J. Phys. B: At. Mol. Opt. Phys.

2014年度P1レポート

<http://www.slideshare.net/HemnAzeez/gamma-ray-spectrum-by-using-na-itldetector>

